

# Квантовая теория измерений

Ф.Я. Халили, С.П. Вятчанин

Кафедра физики колебаний,  
Физический факультет,  
Московский гос. университет им. М.В Ломоносова

Москва, 2020



# Содержание

Статистическая модель квантовой механики

Постулат редукции фон-Неймана

Положительно определенная операторная вероятностная мера

Приближенные измерения

ПОВМ: общий случай

Косвенные измерения

Непрерывные измерения

Непрерывное измерение фазы: когерентная накачка

Непрерывное измерение фазы: сжатая накачка

Вариационное измерение

Оптическое сжатие

Оптические потери

Квантовый измеритель скорости

Квантовое описание диссипации осциллятора



# Классическая частица

## Состояние классической частицы

Координата  $x$  и импульса  $p$ .

Если они точно не известны, то — распределения вероятностей  $P_x(x)$  и  $P_p(p)$  (между собой вообще говоря никак не связаны).

Состояния с точно заданными значениями:

$$P_x = \delta(x - x_0), \quad P_p = \delta(p - p_0) \quad (1)$$

Любые средние вычисляются по известному правилу:

$$\langle x^n \rangle = \int_{-\infty}^{\infty} x^n P_x(x) dx, \quad \langle p^m \rangle = \int_{-\infty}^{\infty} p^m P_p(p) dp \quad (2)$$

Распределения вероятностей  $P_x$  и  $P_p$  “не делимы”

$$\int_{-\infty}^{\infty} P_x(x) dx = 1, \quad \int_{-\infty}^{\infty} P_p(p) dp = 1 \quad (3)$$

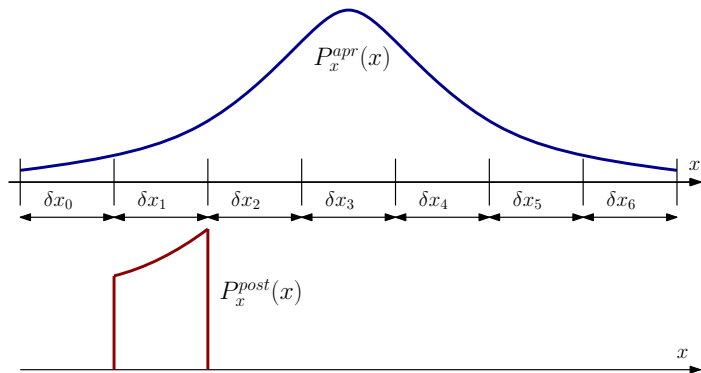


## Классическая частица: одномерный “паркет”

Априорное распределение вероятности  $P_x^{\text{apr}}(x)$ . Детектор не возмущает состояние частицы (частица не поглощается).

Апостериорное распределение вероятности (после пролета частицы через  $\delta x_1$ )

$$P_x^{\text{post}} = \begin{cases} \frac{P_x^{\text{apr}}(x)}{P_1}, & \text{if } x \in \delta x_1 \\ 0, & \text{if } x \notin \delta x_1 \end{cases}, \quad P_1 = \int_{\delta x_1} P_x^{\text{apr}} dx \quad (4)$$



## Классическая частица (прод.)

Формально можно ввести “волновую функцию”

$$\psi_x(x) = \sqrt{P_x(x)} e^{i\phi(x)} \quad (5)$$

$\phi_x(x)$  — не несет никакого физического смысла. Формально можно переписать “как в квантовой механике”:

$$\langle x \rangle = \int \psi_x^*(x) x \psi_x(x) dx. \quad (6)$$

Аналогично и для импульса:

$$\psi_p(p) = \sqrt{P_p(p)} e^{i\phi(p)}, \quad (7)$$

$$\langle p \rangle = \int \psi_p^*(p) p \psi_p(p) dp. \quad (8)$$

Но ни фаза  $\phi_x(x)$ , ни  $\phi_p(p)$  НЕ имеют физического смысла.



# Классическая волна

## Действительная волновая функция $\psi_x$

$\psi_x$  — отклонение переменной величины (напр. уровня воды). Ее квадрат задает пространственное распределение энергии  $P_x(x)$ , а интеграл — пропорционален переносимой энергии  $\mathcal{E}$

$$P_x(x) = \psi_x^2(x), \quad \int \psi_x^2(x) dx \sim \mathcal{E} \quad (9)$$

## Пространственный спектр $\psi_k(k)$

$$\begin{aligned} \psi_k(k) &= \frac{1}{\sqrt{2\pi}} \int \psi_x(x) e^{-ikx} dx, \quad \int \psi_x^2(x) \frac{dx}{\sqrt{2\pi}} = \int |\psi_k(k)|^2 \frac{dk}{\sqrt{2\pi}}, \\ \int |\psi_k(k)|^2 \frac{dk}{\sqrt{2\pi}} &= \int \int \int \psi_x(x) \psi_{x'}^*(x') e^{-ik(x-x')} \frac{dx dx'}{2\pi} \frac{dk}{\sqrt{2\pi}} = \\ &= \int \int \psi_x(x) \psi_{x'}^*(x') \delta(x-x') \frac{dx dx'}{\sqrt{2\pi}} = \int \psi_x^2(x) \frac{dx}{\sqrt{2\pi}} \quad (10) \end{aligned}$$



# Классическая волна (прод.)

## Классическое соотношение неопределенностей

$$\Delta^2 x \Delta^2 k \geq \frac{1}{4}, \quad (11a)$$

$$\Delta^2 x = \langle x^2 \rangle - \langle x \rangle^2, \quad \langle x^n \rangle = \int x^n \psi_x^2(x) \frac{dx}{\sqrt{2\pi}}, \quad (11b)$$

$$\Delta^2 k = \langle k^2 \rangle - \langle k \rangle^2, \quad \langle k^n \rangle = \int k^n |\psi_k(k)|^2 \frac{dk}{\sqrt{2\pi}} \quad (11c)$$

Проверить для гауссового случая:

$$\psi_x(x) = \frac{2^{1/4}}{\sqrt{x_0}} \exp\left(\frac{-x^2}{2x_0^2}\right), \quad \psi_k(k) = 2^{1/4} \sqrt{x_0} \exp\left(\frac{-k^2 x_0^2}{2}\right), \quad (12a)$$

$$\int |\psi_x(x)|^2 \frac{dx}{\sqrt{2\pi}} = 1, \quad \int |\psi_k(k)|^2 \frac{dk}{\sqrt{2\pi}} = 1 \quad (12b)$$



# Классическое соотношение неопределенностей

Нулевые средние,  $\langle x \rangle = 0$ ,  $\langle k \rangle = 0$

$$\langle x^2 \rangle = \int x^2 |\psi_x(x)|^2 \frac{dx}{\sqrt{2\pi}}, \quad \langle k^2 \rangle = \int k^2 |\psi_k(k)|^2 \frac{dk}{\sqrt{2\pi}}, \quad (13a)$$

$$\langle k^2 \rangle = \int [ik\psi_k(k)] [-ik\psi_k^*(k)] \frac{dk}{\sqrt{2\pi}}, \quad (13b)$$

$$ik\psi_k(k) = \int \psi_x(x) [-\partial_x e^{-ikx}] \frac{dx}{\sqrt{2\pi}} = \int e^{-ikx} \partial_x \psi_x(x) \frac{dx}{\sqrt{2\pi}}, \quad (13c)$$

$$\begin{aligned} \langle k^2 \rangle &= \int [e^{-ikx} \partial_x \psi_x(x)] [e^{ikx'} \partial_{x'} \psi_x^*(x')] \frac{dx}{\sqrt{2\pi}} \frac{dx'}{\sqrt{2\pi}} \frac{dk}{\sqrt{2\pi}} = \\ &= \int [\partial_x \psi_x(x)] [\partial_{x'} \psi_x^*(x')] \frac{dx}{\sqrt{2\pi}} \frac{dx'}{\sqrt{2\pi}} \frac{2\pi \delta(x-x')}{\sqrt{2\pi}} = \end{aligned} \quad (13d)$$

$$= \int |\partial_x \psi_x(x)|^2 \frac{dx}{\sqrt{2\pi}}. \quad \partial_x x - x \partial_x = 1 \quad (13e)$$

Дальше аналогично выводу кв. соотношений неопределенностей.



# Квантовая волна-частица

## И волна, и частица

Как и для классической частицы, распределения вероятностей  $P_x(x) = |\psi_x(x)|^2$ ,  $P_p(p) = |\psi_p(p)|^2$ , “неделимы”, т.е. при локализации квантовой частицы — редукция распределения вероятностей.

Но эти распределения вероятностей  $P_x(x)$ ,  $P_p(p)$  не независимы. Волновые функции связаны преобразованием Фурье:

$$\psi_p(p) = \frac{1}{\sqrt{2\pi\hbar}} \int \psi_x(x) e^{-ipx/\hbar} dx, \quad p \Rightarrow \hbar k \quad (14)$$

Волновые функции комплексные, фаза — важный физический смысл. Она определяет распределение вероятностей для канонически сопряженных величин (у волновой функции в координатном представлении — для импульса, и наоборот).



## Квантовая волна-частица (прод.)

### Квантовое соотношение неопределенностей

Зависимость между  $\psi_x(x)$  и  $\psi_p(p)$ : координата и импульс квантовой частицы не могут быть одновременно точно заданы.

Действительно, если координата задана точно ( $\psi_x(x) = \delta(x - x_0)$ ), то импульс полностью не определен.

Квантовое соотношение неопределенностей

$$\Delta x_{\text{init}} \cdot \Delta p_{\text{init}} \geq \frac{\hbar}{2} \quad (15)$$

“Измерительное” кв. соотношение неопределенностей

$$\Delta x_{\text{изм}} \cdot \Delta p_{\text{возм}} \geq \frac{\hbar}{2} \quad (16)$$

или

$$\Delta x_{\text{возм}} \cdot \Delta p_{\text{изм}} \geq \frac{\hbar}{2} \quad (17)$$

Обсудить различные случаи  $\Delta x_{\text{изм}} \gg \Delta x_{\text{init}}$  или  $\Delta x_{\text{изм}} \ll \Delta x_{\text{init}}$



# Полезная таблица

**Таблица 1:** Квантовая частица — свойства как классической частицы, так и классической волны.

У классической волны можно “отрезать” кусок без редукции.

	Редукция при изм.	Соотношение неопр.
Классическая частица	есть	нет
Классическая волна	нет	есть
Квантовая частица	есть	есть



## Вывод квантового соотношения неопределенностей

Пусть  $\hat{x}$ ,  $\hat{p}$  – эрмитовы. Введем  $z$  (комплексное число):

$$\begin{aligned} \hat{A} &= \hat{x} - \hat{I}\langle x \rangle, & \hat{B} &= \hat{p} - \hat{I}\langle p \rangle, & \hat{C} &= z\hat{A} + i\hat{B}, & \langle \hat{C}^\dagger \hat{C} \rangle &\geq 0, \\ \langle \hat{C}^\dagger \hat{C} \rangle &= \langle (z^* \hat{A} - i\hat{B})(z\hat{A} + i\hat{B}) \rangle = |z|^2 \langle A^2 \rangle + iz^* \langle \hat{A}\hat{B} \rangle - iz \langle \hat{B}\hat{A} \rangle + \langle B^2 \rangle, \\ \{ \hat{A}, \hat{B} \} &\equiv \hat{A}\hat{B} + \hat{B}\hat{A}, & [ \hat{A}, \hat{B} ] &\equiv \hat{A}\hat{B} - \hat{B}\hat{A} = i\hbar, \end{aligned} \quad (18)$$

$$\langle \hat{C}^\dagger \hat{C} \rangle = |z|^2 \langle A^2 \rangle + \langle B^2 \rangle + i\Re(z) \langle [ \hat{A}, \hat{B} ] \rangle + \Im(z) \langle \{ \hat{A}, \hat{B} \} \rangle \geq 0,$$

Пусть  $\Im(z) = 0$ , Тогда  $\langle \hat{C}^\dagger \hat{C} \rangle = z^2 \langle A^2 \rangle - z\hbar + \langle B^2 \rangle$ , (19)

Дискриминант должен быть отрицателен:  $D = \hbar^2 - 4\langle A^2 \rangle \langle B^2 \rangle \leq 0$

$$\Rightarrow \boxed{\langle A^2 \rangle \langle B^2 \rangle \geq \frac{\hbar^2}{4}, \quad \text{или} \quad \Delta x \cdot \Delta p \geq \frac{\hbar}{2}} \quad (20)$$

Неравенство Шредингера-Робертсона:

$$\langle A^2 \rangle \langle B^2 \rangle \geq \frac{\hbar^2}{4} + \frac{1}{4} \langle \{ \hat{A}, \hat{B} \} \rangle^2 \quad (21)$$



# Содержание

Статистическая модель квантовой механики

Постулат редукции фон-Неймана

Положительно определенная операторная вероятностная мера

Приближенные измерения

ПОВМ: общий случай

Косвенные измерения

Непрерывные измерения

Непрерывное измерение фазы: когерентная накачка

Непрерывное измерение фазы: сжатая накачка

Вариационное измерение

Оптическое сжатие

Оптические потери

Квантовый измеритель скорости

Квантовое описание диссипации осциллятора



# Постулат редукции фон-Неймана

## Квантовое измерение: нет взаимодействия

1) «квантовый объект» и 2) «классический наблюдатель».

Разделены «квантово-классической границей».

Пока не взаимодействуют между собой:

состояние квантового объекта описывается волновой функцией, а классический наблюдатель — классической ньютоновской физикой.

## Квантовое измерение: взаимодействие

Взаимодействие отображает состояние квантового объекта на состояние классического наблюдателя, оно содержит некоторую случайность. По отдельности как квантовый объект, так и классический наблюдатель ведут себя совершенно детерминистически. Случайности нет ни в классических ньютоновских законах движения, ни в уравнении Шредингера. Лишь их взаимодействие через квантово-классическую границу (процесс измерения) создает случайность.



# Постулат редукции (прод.)

## Модель квантового измерения

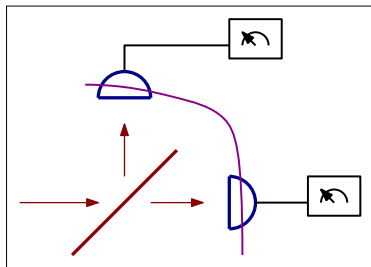


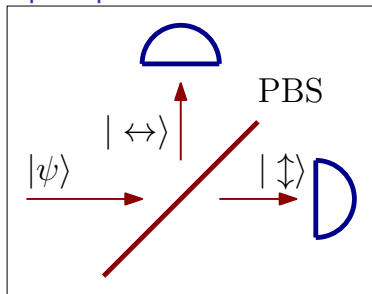
Рис. 1: Обобщенная модель квантового измерения согласно копенгагенской интерпретации.

Фиолетовая линия разделяет квантовый и классический миры.



# Постулат редукции (прод.)

## Пример



Измерение поляризации фотона.  
PBS — поляризационный светоделитель.

$$|\psi\rangle = \psi_{\leftrightarrow} |\leftrightarrow\rangle + \psi_{\updown} |\updown\rangle \quad (22)$$

Щелкает только один из приемников с вероятностью  $|\psi_{\leftrightarrow}|^2$  или  $|\psi_{\updown}|^2$ .

Иногда случайность объясняют статистической природой  $|\psi\rangle$ , содержащей обе поляризации  $|\leftrightarrow\rangle$ ,  $|\updown\rangle$ . Однако в  $|\psi\rangle$  не больше случайности, чем, например, в квантовых состояниях  $|\leftrightarrow\rangle$ ,  $|\updown\rangle$ . (Состояние  $|\psi\rangle$  может быть преобразовано в  $|\leftrightarrow\rangle$ ,  $|\updown\rangle$  детерминировано — путем пропускания фотона через вращатель поляризации.)



## Постулат редукции, аксиом 1

Пусть  $|\psi\rangle$  – начальное состояние, а  $Q$  — квантовый оператор,  $q_n$ ,  $|q_n\rangle$  — его собственные значения и состояния ( $n$  – целое), .

### Аксиом 1

В результате измерения *случайно*, с вероятностью

$$P_n = |\langle q_n | \psi \rangle|^2 \quad (23)$$

будет получено одно из собственных значений  $q_n$ .

Этот пункт появился после безуспешных попыток рассматривать волновую функцию как какую-то реальную классическую волну.

### Обобщение

Если начальное состояние задается оператором плотности  $\hat{\rho}$ , то вероятность  $P_n$  равна

$$\hat{\rho} = \sum_j |\psi_j\rangle \rho_j \langle \psi_j|, \quad (24)$$

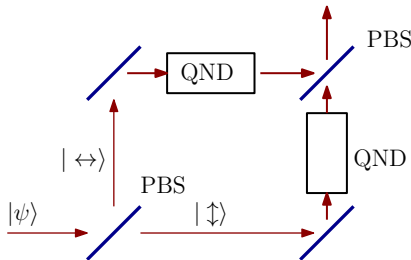
$$P_n = \langle q_n | \hat{\rho} | q_n \rangle = \sum_j \rho_j |\langle q_n | \psi_j \rangle|^2 \quad (25)$$



# Постулат редукции, аксиом 2

## Вопрос:

Каково состояние квантового объекта после измерения? Рассмотрим:



Пусть нач. состояние  $|\leftrightarrow\rangle$  или  $|\downarrow\rangle$ . После измерения оба возможных пути фотона объединяются вторым PBS.

А если  $|\psi\rangle = \psi_{\leftrightarrow}|\leftrightarrow\rangle + \psi_{\downarrow}|\downarrow\rangle$  ?

Два варианта (нет поглощения фотонов):

(i)  $|\psi\rangle$  НЕ изменяется;

(ii)  $|\psi\rangle$  коллапсирует либо в  $|\leftrightarrow\rangle$ , либо в  $|\downarrow\rangle$ .

Какой вариант? Пропустить фотон через второй такой-же измеритель. В случае (i) результаты этих двух измерений будут случайными и независимыми друг от друга. В случае (ii) они также будут непредсказуемыми заранее, но будут совпадать друг с другом. Джон фон Нейман (начало 1920-х): вариант (ii)

(Эксперименты по рассеянию рентгеновских квантов на электронах, комптоновское рассеяние).



# Постулат редукции, аксиом 2

## Аксиом 2

Идеальное точное измерение наблюдаемой  $Q$  редуцирует квантовое состояние объекта в собственное состояние измеряемой величины  $|q_n\rangle$ , соответствующее полученному результату измерения  $q_n$ .

Аксиома 2 дополняет аксиому 1. Вместе эти две аксиомы образуют постулат о редукции фон Неймана.



# Содержание

Статистическая модель квантовой механики

Постулат редукции фон-Неймана

**Положительно определенная операторная вероятностная мера**

Приближенные измерения

ПОВМ: общий случай

Косвенные измерения

Непрерывные измерения

Непрерывное измерение фазы: когерентная накачка

Непрерывное измерение фазы: сжатая накачка

Вариационное измерение

Оптическое сжатие

Оптические потери

Квантовый измеритель скорости

Квантовое описание диссипации осциллятора



# Positive operator valued measure (POVM)

## ПОВМ: простейший случай

Положительно-определенная операторная вероятностная мера (ПОВМ). Вероятности срабатывания каждого из детекторов:

$$P_{\leftrightarrow} = |\langle \leftrightarrow | \psi \rangle|^2 = \langle \psi | \hat{E}_{\leftrightarrow} | \psi \rangle, \quad P_{\updownarrow} = |\langle \updownarrow | \psi \rangle|^2 = \langle \psi | \hat{E}_{\updownarrow} | \psi \rangle \quad (26)$$

Операторы

$$\hat{E}_{\leftrightarrow} = | \leftrightarrow \rangle \langle \leftrightarrow |, \quad \hat{E}_{\updownarrow} = | \updownarrow \rangle \langle \updownarrow | \quad (27)$$

образуют ПОВМ (положительно определенная операторная вероятностная мера) или POVM (positive operator valued measure)

## ПОВМ: общий случай

Точное измерение наблюдаемой  $Q$ :

$$\{ \hat{E}_n \} = \{ |q_n\rangle \langle q_n| \}, \quad P_n = \langle \psi | \hat{E}_n | \psi \rangle, \quad \text{или} \quad P_n = \text{Tr} (\hat{E}_n \hat{\rho}) \quad (28)$$

Язык ПОВМ позволяет описывать а) как точные, так и приближенные кв. измерения; б) одновременные кв. измерения нескольких наблюдаемых, в том числе некоммутирующих, и т.д.



# Positive operator valued measure

## Полнота ПОВМ

$$\sum_n P_n = 1, \quad \sum_n \hat{E}_n = \hat{1} \quad (29)$$

## ПОВМ: конечные состояния, общий случай

$$|\psi_n\rangle = \frac{\hat{E}_n |\psi\rangle}{\sqrt{P_n}}, \quad \hat{\rho}_n = \frac{\hat{E}_n \hat{\rho} \hat{E}_n}{P_n} \quad (30)$$

Для простого случая ид. точ. измерения  $|\psi_n\rangle = |q_n\rangle$  и  $\hat{E}_n = |q_n\rangle\langle q_n|$ .  
Однако общая структура справедлива и для более общих случаев.



# Содержание

Статистическая модель квантовой механики

Постулат редукции фон-Неймана

Положительно определенная операторная вероятностная мера

**Приближенные измерения**

ПОВМ: общий случай

Косвенные измерения

Непрерывные измерения

Непрерывное измерение фазы: когерентная накачка

Непрерывное измерение фазы: сжатая накачка

Вариационное измерение

Оптическое сжатие

Оптические потери

Квантовый измеритель скорости

Квантовое описание диссипации осциллятора

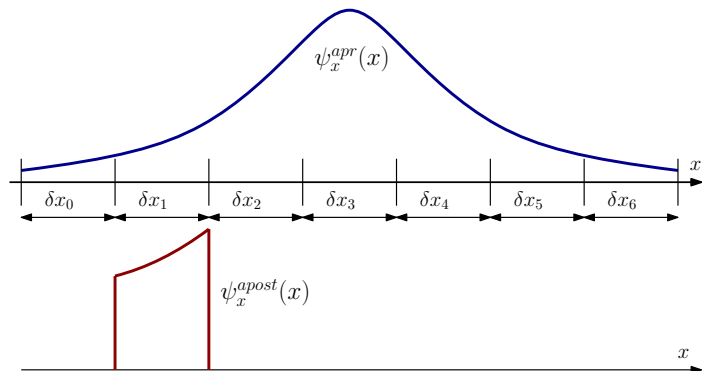


# Приближенные измерения

## “Паркетное” измерение

Постулат о редукции для приближенного измерения:

$$\psi_x^{\text{apost}} = \begin{cases} \frac{\psi_x^{\text{apr}}(x)}{\sqrt{P_j}}, & \text{if } x \in \delta x_j \\ 0, & \text{if } x \notin \delta x_j \end{cases}, \quad P_j = \int_{\delta x_j} |\psi_x^{\text{apr}}|^2 dx \quad (31)$$



# Приближенные измерения (прод.)

## Дираковские обозначения

$$|\psi_j\rangle = \frac{\hat{E}_j|\psi^{\text{apr}}\rangle}{\sqrt{P_j}}, \quad P_j = \langle\psi^{\text{apr}}|\hat{E}_j \cdot \hat{E}_j|\psi^{\text{apr}}\rangle = \langle\psi^{\text{apr}}|\hat{E}_j|\psi^{\text{apr}}\rangle, \quad (32)$$

$$\hat{E}_j = \int_{\delta x_j} |x\rangle\langle x| dx, \quad \hat{E}_j \cdot \hat{E}_j = \hat{E}_j \quad (33)$$

## Обобщение

Все множество значений  $\{q\}$  разбиваем на не пересекающиеся множества  $\delta q_1, \delta q_2, \dots$ . Для каждого строится оператор:

$$\hat{E}_j = \sum_{q \in \delta q_j} |q\rangle\langle q|, \quad \sum_j \hat{E}_j = \hat{1}. \quad (34)$$



## Пример

### Пример: 3-х мерное пространство

Волновые функции — столбцы и строчки:

$$|\psi\rangle = \begin{pmatrix} a_x \\ a_y \\ a_z \end{pmatrix}, \quad \langle\psi| = (a_x, \quad a_y, \quad a_z) \quad (35)$$

Операторы – матрицы ( $3 \times 3$ ), проекции на оси и на плоскости:

$$E_x = \begin{pmatrix} 1 & 0 & 0 \\ 0 & 0 & 0 \\ 0 & 0 & 0 \end{pmatrix}, \quad E_y = \begin{pmatrix} 0 & 0 & 0 \\ 0 & 1 & 0 \\ 0 & 0 & 0 \end{pmatrix}, \quad E_z = \begin{pmatrix} 0 & 0 & 0 \\ 0 & 0 & 0 \\ 0 & 0 & 1 \end{pmatrix} \quad (36)$$

$$E_{xy} = \begin{pmatrix} 1 & 0 & 0 \\ 0 & 1 & 0 \\ 0 & 0 & 0 \end{pmatrix}, \quad E_{xz} = \begin{pmatrix} 1 & 0 & 0 \\ 0 & 0 & 0 \\ 0 & 0 & 1 \end{pmatrix}, \quad E_{yz} = \begin{pmatrix} 0 & 0 & 0 \\ 0 & 1 & 0 \\ 0 & 0 & 1 \end{pmatrix} \quad (37)$$



# Содержание

Статистическая модель квантовой механики

Постулат редукции фон-Неймана

Положительно определенная операторная вероятностная мера

Приближенные измерения

**ПОВМ: общий случай**

Косвенные измерения

Непрерывные измерения

Непрерывное измерение фазы: когерентная накачка

Непрерывное измерение фазы: сжатая накачка

Вариационное измерение

Оптическое сжатие

Оптические потери

Квантовый измеритель скорости

Квантовое описание диссипации осциллятора



# Неортогональные измерения

## Ортогональные приближенные измерения:

последующие измерения с вероятностью единица дают тот же самый результат (орт. и приближенные измерения похожи на точные).

## Реальные приближенные измерения:

Каждое последующее измерение может давать другой результат, в пределах погрешности предыдущего, и точность измерения от измерения к измерению копится, то есть распределение вероятностей для измеряемой величины (и волновая функция) с каждым измерением сужаются. В 60-е и 70-е годы был разработан математический аппарат так называемых неортогональных измерений, представляющий собой обобщение постулата о редукции фон Неймана и позволяющий описывать любые измерения.



## Неортогональные измерения (прод.)

Измерение как лин. отображение множества кв. состояний отображение кв. состояний  $\{\hat{\rho}\}$  на множество распредел. вероятностей  $\{P(q)\}$ . Возможные результаты  $q$ : дискретный набор или непрерывная величина; могут быть скалярами или векторами.

### Линейность:

Если состояние  $\hat{\rho}_1$  дает  $P_1(q)$ , а состояние  $\hat{\rho}_2$  —  $P_2(q)$ , то

$$a\hat{\rho}_1 + b\hat{\rho}_2 \Rightarrow aP_1(q) + bP_2(q) \quad (38)$$

ПОВМ: множество операторов  $\{\hat{\Pi}(q)\}$

$$P(q) = \text{Tr} [\hat{\Pi}(q) \hat{\rho}], \quad \text{или} \quad P(q) = \langle \psi | \hat{\Pi}(q) | \psi \rangle, \quad (39)$$

$$\text{Нормировка: } \forall \hat{\rho} \quad \int P(q) dq = 1, \quad \text{Полнота: } \int \hat{\Pi}(q) dq = \hat{1} \quad (40)$$



# Обратное воздействие измерителя

## Конечное состояние

$$|\psi(q)\rangle = \frac{\hat{\Omega}(q) |\psi\rangle}{\sqrt{P(q)}}, \quad \text{или} \quad \hat{\rho}(q) = \frac{\hat{\Omega}(q) \rho \hat{\Omega}^\dagger(q)}{P(q)} \quad (41)$$

Оператор редукции  $\hat{\Omega}$  определяется с точностью до произв. унитарного оператора  $\hat{U}(q)$ :

$$\hat{\Pi}(q) = \hat{\Omega}^\dagger(q) \hat{\Omega}(q), \quad \text{обратно} \quad \hat{\Omega}(q) = \hat{U}(q) \hat{\Pi}^{1/2}(q) \quad (42)$$

Физ. смысл  $\hat{U}(q)$  — описывает эффективную свободную эволюцию объекта после измерения. Ниже опускаем  $\hat{U}(q)$ .



## Обратное воздействие измерителя (прод.)

### Пример: неидеальный фотодетектор

Исх. состояние  $|1\rangle$ . С вероятностью  $\eta < 1$  ответ “1”, а с вероятностью  $1 - \eta$  — “0” :

$$\langle 1|\hat{\Pi}_1|1\rangle = \eta, \quad \langle 1|\hat{\Pi}_0|1\rangle = 1 - \eta, \quad \langle 0|\hat{\Pi}_0|0\rangle = 1 \quad (43)$$

Отсюда следует

$$\hat{\Pi}_1 = \eta |1\rangle\langle 1|, \quad \hat{\Pi}_0 = |0\rangle\langle 0| + (1 - \eta) |1\rangle\langle 1| \quad (44)$$

Для “обычных” поглощающих детекторов, на выходе очевидно будет нулевое состояние  $|0\rangle$ . Для кв. невозмущающих детекторов сост. на выходе будет определяться операторами редукции

$$\hat{\Omega}_1 = \sqrt{\eta} |1\rangle\langle 1|, \quad \hat{\Omega}_0 = |0\rangle\langle 0| + \sqrt{1 - \eta} |1\rangle\langle 1| \quad (45)$$



# Когерентное состояние осциллятора

## Определение и разложения

Определение:  $a|\alpha\rangle = \alpha|\alpha\rangle$  (46)

$$\langle n|a|\alpha\rangle = \sqrt{n+1}\langle n+1|\alpha\rangle = \alpha\langle n|\alpha\rangle, \quad (47)$$

$$\langle 1|\alpha\rangle = \alpha\langle 0|\alpha\rangle, \quad \sqrt{2}\langle 2|\alpha\rangle = \alpha\langle 1|\alpha\rangle = \alpha^2\langle 0|\alpha\rangle \quad (48)$$

$$\Rightarrow \langle n|\alpha\rangle = \frac{\alpha^n}{\sqrt{n!}}\langle 0|\alpha\rangle, \quad |\alpha\rangle = \sum_n |n\rangle\langle n|\alpha\rangle = \langle 0|\alpha\rangle \sum_n \frac{\alpha^n}{\sqrt{n!}} |n\rangle, \quad (49)$$

Нормировка:

$$\langle \alpha|\alpha\rangle = |\langle 0|\alpha\rangle|^2 \sum_n \frac{|\alpha|^{2n}}{n!} = |\langle 0|\alpha\rangle|^2 \cdot e^{|\alpha|^2}, \quad \Rightarrow \quad |\langle 0|\alpha\rangle|^2 = e^{-|\alpha|^2},$$

Разложение:

$$|\alpha\rangle = e^{-|\alpha|^2/2} \sum_n \frac{\alpha^n}{\sqrt{n!}} |n\rangle, \quad \langle \alpha| = e^{-|\alpha|^2/2} \sum_n \frac{(\alpha^*)^n}{\sqrt{n!}} \langle n| \quad (50)$$



## Обратное воздействие измерителя (прод.)

Пример: когерентное измерение

$|\alpha\rangle$  — волновая функция когерентного состояния осциллятора

$$\langle x|\alpha\rangle = \frac{\exp\left(-\frac{1}{2}\left[\frac{x}{x_0} - \sqrt{2}\Re(\alpha)\right]^2 + i\frac{\sqrt{2}xx_0\Im(\alpha)}{\hbar}\right)}{\sqrt{\sqrt{\pi}x_0}}, \quad x_0 = \sqrt{\frac{\hbar}{m\omega}},$$

$$\langle \alpha|x|\alpha\rangle = x_0\sqrt{2}\Re(\alpha), \quad \langle \alpha|p|\alpha\rangle = p_0\sqrt{2}\Im(\alpha), \quad p_0 = \sqrt{\hbar m\omega}, \quad (51)$$

$$\text{Пусть } \hat{\Pi}(\alpha) = \frac{|\alpha\rangle\langle\alpha|}{\pi}, \quad \int \hat{\Pi}(\alpha) d\Re(\alpha) d\Im(\alpha) = \hat{1} \quad (52)$$

Пусть состояние с определенной координатой  $\hat{\rho} = |x\rangle\langle x|$ :

$$P(\alpha) \sim \text{Tr} (|x\rangle\langle x| \times |\alpha\rangle\langle\alpha|) \sim |\langle\alpha|x\rangle|^2 \sim e^{-(\sqrt{2}\Re(\alpha)-x)^2} \quad (53)$$

Если состояние с определенным импульсом  $\hat{\rho} = |p\rangle\langle p|$ :

$$P(\alpha) \sim \text{Tr} (|p\rangle\langle p| \times |\alpha\rangle\langle\alpha|) \sim |\langle\alpha|p\rangle|^2 \sim e^{-(\sqrt{2}\Im(\alpha)-p)^2} \quad (54)$$



## Обратное воздействие измерителя (прод.)

### Пример: когерентное измерение (прод.)

Измерение — информация как о  $x$ , так и  $p$  с погрешностями

$$\Delta x = \Delta p = \frac{1}{\sqrt{2}} \quad (55)$$

### Реализация: два осциллятора

Один (вспомогательный) в состоянии  $|0\rangle$ . Совместное измерение  $\hat{x}_1 + \hat{x}_2$  и  $\hat{p}_1 - \hat{p}_2$ . Поскольку

$$[\hat{x}_1 + \hat{x}_2, \hat{p}_1 - \hat{p}_2] = 0, \quad (56)$$

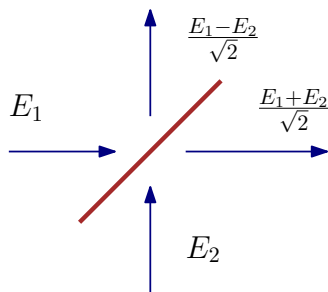
то противоречия с соотношением неопределенности нет.

Например: деление луча на светоделителе с нулем на втором входе и последующее измерение двух квадратур.



# Обратное воздействие измерителя (прод.)

Пример: деление луча на светоделителе


$$E_{1,2} = \sqrt{\frac{\hbar\omega_0}{4\pi S}} e^{-i\omega_0 t} \times \quad (57)$$
$$\times \left( A_{1,2} + \int (a_{1,2}(\Omega) e^{-i\Omega t} \frac{d\Omega}{2\pi}) \right) + \text{c.c.}$$
$$[a_{1,2}(\Omega), a_{1,2}^\dagger(\Omega')] = 2\pi \delta(\Omega - \Omega') \quad (58)$$
$$b_{\pm}(\Omega) = \frac{a_1(\Omega) \pm a_2(\Omega)}{\sqrt{2}}, \quad (59)$$
$$[b_+(\Omega), b_-^\dagger(\Omega')] = 0 \quad (60)$$

Мы можем независимо измерять поля  $b_+$  и  $b_-$  (например, квадратуры на выходе светоделителя) с неограниченной точностью.



# Содержание

Статистическая модель квантовой механики

Постулат редукции фон-Неймана

Положительно определенная операторная вероятностная мера

Приближенные измерения

ПОВМ: общий случай

**Косвенные измерения**

Непрерывные измерения

Непрерывное измерение фазы: когерентная накачка

Непрерывное измерение фазы: сжатая накачка

Вариационное измерение

Оптическое сжатие

Оптические потери

Квантовый измеритель скорости

Квантовое описание диссипации осциллятора



# Косвенные измерения

## Квантовое измерение — как описывать?

Постулат о редукции фон Неймана не отвечает, как устроен прибор. Какова связь между измерительным прибором как обычной физической системой, описываемой уравнением Шредингера, и характером реализуемой им редукции? Ведь уравнение Шредингера в принципе не описывает квантовую редукцию.

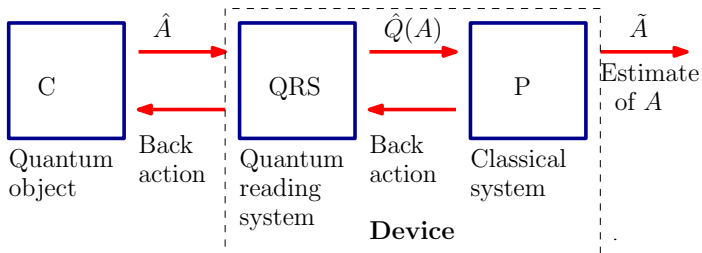


Рис. 2: Схема косвенного измерения. С – квантовый объект, QRS (ККС) – квантовая считывающая система, P – классический наблюдатель, осуществляющий редукцию.



# Косвенные измерения

## Квантовое измерение как двухэтапный процесс

1. Квантовый объект взаимодействует с квантовой считывающей системой (КСС). Нет редукции.
2. Измерение наблюдаемой квантового измерителя. Есть редукция КСС, а значит, и редукция квантового объекта.

## Детали

Зная характер редукции (то есть вид ПОВМ), а также характер “обычной” Шредингеровской совместной эволюции объекта и КСС, всегда можно построить эффективную ПОВМ для составного измерителя “КСС+Р”.

Границу между КСС и “классическим наблюдателем” можно проводить произвольно. Удобно проводить ее так, чтобы измерение можно было считать точным, а вид ПОВМ был очевиден.



## Пример косвенного измерения

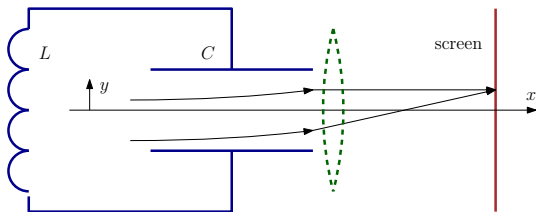


Рис. 3: Схема косвенного измерения с помощью электронного зонда

### Электронный зонд

Гамильтониан, короткое измерение:

$$\hat{\mathcal{H}} = \frac{\hat{\Phi}^2}{2L} + \frac{\hat{q}^2}{2C} + \frac{\hat{p}^2}{2m} + \mathcal{H}_{\text{int}}, \quad \mathcal{H}_{\text{int}} = -Ey = -\frac{qy}{Cd} = -k\hat{q}\hat{y}, \quad (61)$$

$$\hat{\mathcal{H}}_{\text{int}} \rightarrow -k\hat{q}\hat{y} \quad \text{при} \quad \tau \rightarrow 0, \quad k \rightarrow \infty. \quad k\tau = \text{const} \quad (62)$$



## Пример косвенного измерения (прод.)

Электронный зонд, уравнения движения и их решение

$$\frac{d\hat{\Phi}}{dt} = -\frac{\hat{q}}{C} + k\hat{y}, \quad \frac{d\hat{q}}{dt} = \frac{\hat{\Phi}}{L}, \quad (63)$$

$$\frac{d\hat{p}}{dt} = k\hat{q}, \quad \frac{d\hat{y}}{dt} = \frac{\hat{p}}{m}, \quad (64)$$

$$\hat{\Phi}(\tau) = \hat{\Phi}(0) - \frac{\hat{q}}{C} \tau + k\tau \hat{y}(0) \simeq \hat{\Phi}(0) + k\tau \hat{y}(0), \quad \hat{q}(\tau) \simeq \hat{q}(0), \quad (65)$$

$$\hat{p}(\tau) \simeq \hat{p}(0) + k\tau \hat{q}(0), \quad \hat{y}(\tau) \simeq \hat{y}(0) \quad (66)$$

### Измерительное соотношение неопределенностей

Измерив точно  $\hat{p}(\tau)$ , можно узнать  $\hat{q}(0)$

$$\tilde{q} = \frac{p(\tau)}{k\tau}, \quad \Rightarrow \quad \Delta q_{\text{meas}} = \frac{\Delta p}{k\tau}, \quad (67)$$

$$\text{Аналогично: } \tilde{\Phi} = k\tau y(\tau), \quad \Rightarrow \quad \Delta \Phi_{\text{возм}} = k\tau \Delta y, \quad (68)$$

$$\text{Очевидно: } \Delta q_{\text{meas}} \cdot \Delta \Phi_{\text{возм}} = \Delta p \cdot \Delta y \geq \frac{\hbar}{2} \quad (69)$$



# ПОВМ для электронного зонда

Представление Шредингера, оператор эволюции

$$\hat{U} = \exp\left(\frac{ik\tau \hat{q} \hat{y}}{\hbar}\right), \quad |\psi_e(\tau)\rangle|\psi_{LC}(\tau)\rangle = \hat{U}|\psi_e(0)\rangle|\psi_{LC}(0)\rangle, \quad (70)$$

$$\text{ПОВМ: } \{|p\rangle\langle p|\} \quad (71)$$

Конечное состояние:  $LC +$  электрон

$$|\Psi_{\text{after}}\rangle = \frac{|p\rangle\langle p|\hat{U}|\psi_e(0)\rangle|\psi_{LC}(0)\rangle}{\sqrt{W(p)}}, \quad (72)$$

$$W(p) = \langle\Psi_{\text{before}}|\hat{U}^\dagger|p\rangle\langle p|\hat{U}|\Psi_{\text{before}}\rangle = \langle\psi_{LC}|\langle\psi_e|\hat{U}^\dagger|p\rangle\langle p|\hat{U}|\psi_e\rangle|\psi_{LC}\rangle \quad (73)$$

$W(p)$  – распределение вероятностей для импульса  $p$  электрона на выходе



## ПОВМ для электронного зонда (прод.)

Конечное состояние:  $LC +$  электрон

$$|\Psi_{\text{after}}\rangle = \frac{|p\rangle \otimes \hat{\Omega}(\tilde{q})|\psi_{LC}(0)\rangle}{\sqrt{P(\tilde{q})}}, \quad (74)$$

$$P(\tilde{q}) = k\tau W(p) = \langle \psi_{LC} | \hat{\Pi}(\tilde{q}) | \psi_{LC} \rangle, \quad \Pi(\tilde{q}) = \hat{\Omega}^\dagger(\tilde{q}) \hat{\Omega}(\tilde{q}) \quad (75)$$

$P(\tilde{q})$  – распределение вероятностей для результатов измерения  $\tilde{q}$ ,  
 $\hat{\Pi}(\tilde{q})$  – эффективная ПОВМ для данного косвенного измерения,  
 $\hat{\Omega}(\tilde{q})$  – соответствующий оператор редукции:

$$\hat{\Omega}(\tilde{q}) = \sqrt{k\tau} \cdot \langle p = k\tau\tilde{q} | \hat{U} | \psi_e \rangle \quad (76)$$



# ПОВМ для электронного зонда (прод.)

Вычисляем медленно и печально

$$\begin{aligned}\langle p|\hat{U}|\psi_e\rangle &= \langle p|\exp\left(\frac{ik\tau\hat{q}\hat{y}}{\hbar}\right)|\psi_e\rangle = \text{вст. 2 разложения единицы} \\ &= \int_{-\infty}^{\infty} |q\rangle\langle q|\langle p|\exp\left(\frac{ik\tau q\hat{y}}{\hbar}\right) \int_{-\infty}^{\infty} |p'\rangle\langle p'|\psi_e\rangle dp' dq = \quad (77)\end{aligned}$$

$$= \int \int_{-\infty}^{\infty} |q\rangle\langle q|\langle p|p' + k\tau\hat{q}\rangle \psi_e(p') dp' dq, \quad (78)$$

$$\text{Учтено: } \exp\left(\frac{i\alpha\hat{y}}{\hbar}\right)|p\rangle = |p + \alpha\rangle, \quad (79)$$

$$\langle p|\hat{U}|\psi_e\rangle = \int \int_{-\infty}^{\infty} |q\rangle\langle q|\langle p|p' + k\tau q\rangle \psi_e(p') dp' dq = \quad (80)$$

$$= \int_{-\infty}^{\infty} |q\rangle\langle q|\psi_e(p - k\tau q) dq, \quad (81)$$

$$\Rightarrow \tilde{q} = \frac{p}{k\tau}, \quad \hat{\Omega}(\tilde{q}) = \sqrt{k\tau} \int_{-\infty}^{\infty} |q\rangle\langle q|\psi_e(k\tau(\tilde{q} - q)) dq \quad (82)$$



# ПОВМ для электронного зонда (прод.)

## Проверка полноты

$$\int_{-\infty}^{\infty} \hat{\Omega}(\tilde{q}) \Omega^\dagger(\tilde{q}) d\tilde{q} = k\tau \int_{-\infty}^{\infty} \left[ \int_{-\infty}^{\infty} |q\rangle\langle q| \psi_e(k\tau(\tilde{q} - q)) dq \times \quad (83)$$

$$\times \int_{-\infty}^{\infty} |q'\rangle\langle q'| \psi_e^*(k\tau(\tilde{q} - q')) dq' \right] d\tilde{q} = \quad (84)$$

$$= k\tau \int_{-\infty}^{\infty} \left[ \int_{-\infty}^{\infty} |q\rangle\langle q| |\psi_e(k\tau(\tilde{q} - q))|^2 dq \right] d\tilde{q} =$$

$$= \int_{-\infty}^{\infty} \left[ \int_{-\infty}^{\infty} |q\rangle\langle q| |\psi_e(p - k\tau q)|^2 dq \right] dp = \quad (85)$$

$$= \int_{-\infty}^{\infty} |q\rangle\langle q| dq = \hat{1} \quad (86)$$



# Содержание

Статистическая модель квантовой механики

Постулат редукции фон-Неймана

Положительно определенная операторная вероятностная мера

Приближенные измерения

ПОВМ: общий случай

Косвенные измерения

**Непрерывные измерения**

Непрерывное измерение фазы: когерентная накачка

Непрерывное измерение фазы: сжатая накачка

Вариационное измерение

Оптическое сжатие

Оптические потери

Квантовый измеритель скорости

Квантовое описание диссипации осциллятора



# Последовательность измерений координаты

Свободная масса  $M$ , координата  $x$

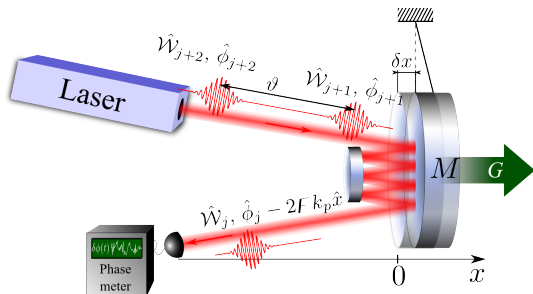


Рис. 4: Упрощенный пример оптического измерения координаты массы.

$G$  – сигнальная сила. Последовательность коротких св. импульсов, разнесенных на время  $\vartheta$ . Каждый имп. отражается  $F > 1$  раз. Пренебрегаем смещением из-за светового давления во время действия оптического импульса.



# Последовательность измерений координаты (прод.)

Фазочувствительный детектор, измерение  $x$

Фаза каждого импульса после отражения:

$$\hat{\phi}_j^{\text{refl}} = \hat{\phi}_j - 2F k_p \hat{x}(t_j), \quad \text{полагаем} \quad \overline{\hat{\phi}_j} = 0$$

Точность измерения фазы выше, чем начальная  $\Delta\phi \equiv (\overline{\hat{\phi}_j^2} - \overline{\hat{\phi}_j}^2)^{1/2}$ :

$$\Delta x_{\text{meas}} = \frac{\Delta\phi}{2F k_p}, \quad \tilde{x}_j \equiv -\frac{\hat{\phi}_j^{\text{refl}}}{2F k_p} = \hat{x}(t_j) + \hat{x}_{\text{fl}}(t_j), \quad \hat{x}_{\text{fl}}(t_j) = -\frac{\hat{\phi}_j}{2F k_p}$$

## Обратное флукуационное влияние

Световой импульс передает пробной массе случайный импульс

$$\hat{p}_j^{\text{after}} - \hat{p}_j^{\text{before}} = \hat{p}_j^{\text{b.a.}} = \frac{2F}{c} \hat{\mathcal{W}}_j, \quad \overline{\hat{p}_j^{\text{b.a.}}} = \frac{2F}{c} \mathcal{W}, \quad (87)$$

$$\Delta \hat{p}^{\text{b.a.}}(t_j) = \frac{2F}{c} (\hat{\mathcal{W}}_j - \mathcal{W}), \quad \Delta p_{\text{b.a.}} = \frac{2F \Delta \mathcal{W}}{c} \quad (88)$$

$\Delta \mathcal{W}$  — среднеквадратичная неопределенность энергии св. импульса.



# Соотношения неопределенностей

## Связь неопределенностей

$$\Delta\mathcal{W} \cdot \Delta\phi \geq \frac{\hbar\omega_p}{2}, \quad \Rightarrow \quad \Delta x_{\text{meas}} \cdot \Delta p_{\text{b.a.}} \geq \frac{\hbar}{2}. \quad (89)$$

## Свет в когерентном состоянии

$$\Delta\phi = \frac{1}{2} \sqrt{\frac{\hbar\omega_p}{\mathcal{W}}}, \quad \Delta\mathcal{W} = \sqrt{\hbar\omega_p\mathcal{W}}, \quad \Rightarrow \quad (90)$$

$$\Rightarrow \quad \Delta x_{\text{meas}} = \frac{c}{4F} \sqrt{\frac{\hbar}{\omega_p\mathcal{W}}}, \quad \Delta p_{\text{b.a.}} = \frac{2F}{c} \sqrt{\hbar\omega_p\mathcal{W}}. \quad (91)$$



## От дискретного к непрерывному измерению

Один свет. импульс слабо возмущает импульс  $p$  массы и не дает дост. информации о координате  $x$ . Выберем полное время  $T$ :

$$N = \frac{T}{\vartheta} \gg 1, \quad \Rightarrow \quad \Delta x_T = \frac{\Delta x_{\text{meas}}}{\sqrt{N}} = \Delta x_{\text{meas}} \sqrt{\frac{\vartheta}{T}}, \quad (92)$$

$$\Delta p_T = \Delta p_{\text{b.a.}} \sqrt{N} = \Delta p_{\text{b.a.}} \sqrt{\frac{T}{\vartheta}}. \quad (93)$$

Пусть:

$$\vartheta \rightarrow 0, \quad \Delta x_{\text{meas}} \rightarrow \infty \quad \Leftrightarrow \quad \Delta p_{\text{b.a.}} \rightarrow 0. \quad (94)$$

$$S_x = \lim_{\vartheta \rightarrow 0} (\Delta x_{\text{meas}})^2 \vartheta = \frac{S_\phi}{4F^2 k_p^2}, \quad S_F = \lim_{\vartheta \rightarrow 0} \frac{(\Delta p_{\text{b.a.}})^2}{\vartheta} = \frac{4F^2 S_I}{c^2},$$

$$\text{где } S_\phi = \lim_{\vartheta \rightarrow 0} (\Delta \phi)^2 \vartheta, \quad S_I = \lim_{\vartheta \rightarrow 0} \frac{(\Delta \mathcal{W})^2}{\vartheta}. \quad (95)$$

$$\text{Тогда } \Delta x_T = \sqrt{\frac{S_x}{T}}, \quad \Delta p_T = \sqrt{S_F T} \quad (96)$$



## Физический смысл $S_x$ и $S_F$

Что есть  $S_x$

$$\tilde{x}(t) = \hat{x}(t) + \hat{x}_{\text{ш}}(t), \quad \hat{x}_{\text{ш}}(t) = -\frac{\hat{\phi}(t)}{2Fk_p} \quad (97)$$

$x_{\text{ш}}$  — измерительный шум  $\sim \hat{\phi}(t)$ .  $S_x$  — спектральная плотность этого шума, а  $S_\phi$  — спектральная плотность флуктуаций фазы света  $\hat{\phi}(t)$ .

Что есть  $S_F$

$$\frac{d\hat{p}(t)}{dt} = \hat{F}_{\text{ш}}(t) + F_s, \quad (98)$$

где  $F_s$  — сигнальная сила,  $\hat{F}_{\text{ш}}(t)$  — случайная сила (белый шум):

$$\hat{F}_{\text{ш}}(t_j) = \lim_{\vartheta \rightarrow 0} \frac{\Delta \hat{p}^{\text{b.a.}}(t_j)}{\vartheta} = \frac{2F}{c} \lim_{\vartheta \rightarrow 0} \frac{\hat{\mathcal{W}}_j - \mathcal{W}}{\vartheta} = \frac{2F}{c} [\hat{\mathcal{I}}(t_j) - \mathcal{I}_0], \quad (99)$$

где  $\hat{\mathcal{I}}(t)$  — оптическая мощность,  $\mathcal{I}_0$  — ее среднее значение.

$S_F$  — спектральная плотность флуктуаций силы  $\hat{F}_{\text{b.a.}}$ ,

а  $S_{\mathcal{I}}$  — спектральная плотность оптической мощности  $\hat{\mathcal{I}}$ .



# Модель непрерывного измерения

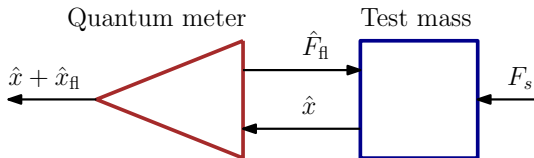


Рис. 5: Экв. схема линейного измерителя квантовой пробной массы

В простейшей модели  $S_x$  и  $S_F$  не коррелируют и удовлетворяют соотношению неопределенности

$$S_x S_F = \frac{S_\phi S_{\mathcal{I}}}{\omega_p^2} \geq \frac{\hbar^2}{4}. \quad \text{2-сторон. спектр. плотности!} \quad (100)$$

Если зондирующий свет в когерентном квантовом состоянии:

$$S_\phi = \frac{\hbar\omega_p}{4\mathcal{I}_0}, \quad S_{\mathcal{I}} = \hbar\omega_p\mathcal{I}_0, \quad \Rightarrow \quad S_x = \frac{\hbar c^2}{16\omega_p\mathcal{I}_0 F^2}, \quad S_F = \frac{4\hbar\omega_p\mathcal{I}_0 F^2}{c^2}.$$



# Спектральная плотность мощности (СПМ, PSD)

## Стационарные шумы. Двустороннее определение СПМ

Теорема Винера-Хинчина:

$$S_x(\Omega) = \int_{-\infty}^{\infty} \langle \hat{x}_{\text{fl}}(t) \circ \hat{x}_{\text{fl}}(t + \tau) \rangle e^{i\Omega\tau} d\tau, \quad (102)$$

$$S_F(\Omega) = \int_{-\infty}^{\infty} \langle \hat{F}_{\text{fl}}(t) \circ \hat{F}_{\text{fl}}(t + \tau) \rangle e^{i\Omega\tau} d\tau, \quad (103)$$

$$S_{xF}(\Omega) = \int_{-\infty}^{\infty} \langle \hat{x}_{\text{fl}}(t) \circ \hat{F}_{\text{fl}}(t + \tau) \rangle e^{i\Omega\tau} d\tau. \quad (104)$$

## Симметризованное среднее (определение)

$$\langle \hat{x}_{\text{fl}}(t) \circ \hat{x}_{\text{fl}}(t + \tau) \rangle = \frac{1}{2} \langle \hat{x}_{\text{fl}}(t)\hat{x}_{\text{fl}}(t + \tau) + \hat{x}_{\text{fl}}(t + \tau)\hat{x}_{\text{fl}}(t) \rangle \quad (105)$$



# Линейная квантовая система

Шумы  $\hat{x}_\Pi$  и  $\hat{F}_\Pi$  – следствие квантовой физики:

$$[\hat{x}(t), \hat{x}(t')] \neq 0, \quad \text{существование } \hat{F}_\Pi(t) \quad (106)$$

Для стационарных шумов

$$S_x(\Omega)S_F(\Omega) - |S_{xF}(\Omega)|^2 \geq \frac{\hbar^2}{4}, \quad \text{2-сторон. спектр. плотности!} \quad (107)$$

Имеем на выходе

$$\tilde{x}(t) = \hat{x}(t) + \hat{x}_\Pi(t), \quad \mathbf{D}[\hat{x}(t)] = F_s(t) + \hat{F}_\Pi(t), \quad (108)$$

$$\tilde{x}(t) = \hat{x}_0(t) + \mathbf{D}^{-1}[F_s(t) + \hat{F}_\Pi(t)] + \hat{x}_\Pi(t) \quad (109)$$

$x_0(t)$  — собственное движение пробного объекта,  $\mathbf{D} = -md^2/dt^2$  для св. массы и  $\mathbf{D} = m(-d^2/dt^2 + \Omega_0^2)$  для гармонического осциллятора.



# Линейная квантовая система (прод.)

## Свободная масса

$$\tilde{x}(t) = \hat{x}_0(t) + \mathbf{D}^{-1}[F_s(t) + \hat{F}_R(t)] + \hat{x}_R(t), \quad (110)$$

$$\hat{x}_0(t) = x(\hat{0}) + \frac{p(\hat{0})t}{m}, \quad \mathbf{D}^{-1}[F(t)] = \frac{1}{m} \int_0^\infty (t-t')F(t') dt', \quad (111)$$

Собираем

$$\tilde{x}(t) = \hat{x}_0(t) + \mathbf{D}^{-1}\left[F_s(t) + \hat{F}_R(t) + \mathbf{D}[\hat{x}_R(t)]\right] \quad (112)$$

$\hat{x}(0)$ ,  $\hat{p}(0)$  — “начальные условия”. Подействуем оператором  $\mathbf{D}$ :

$$\mathbf{D}[\tilde{x}(t)] = \mathbf{D}[\hat{x}_0(t)] + \mathbf{D}\mathbf{D}^{-1}\left[F_s(t) + \hat{F}_R(t) + \mathbf{D}[\hat{x}_R(t)]\right] = \quad (113)$$

$$= F_s(t) + \hat{F}_{\text{sum}}(t), \quad \hat{F}_{\text{sum}}(t) = \hat{F}_R(t) + \mathbf{D}[\hat{x}_R(t)] \quad (114)$$

в лин. кв. системах начальное состояние не имеет значения.  
Единственный источник кв. ограничений — измеритель.



# Линейная квантовая система (прод.)

## Свободная масса: спектральное представление

$$\hat{F}_{\text{sum}}(\Omega) = \hat{F}_{\text{fl}}(\Omega) + \chi^{-1}(\Omega) \hat{x}_{\text{fl}}(\Omega), \quad \chi_{\text{св. масса}} = \frac{-1}{m\Omega^2} \quad (115)$$

Двусторонняя спектральная плотность

$$S_{\text{sum}}(\Omega) = |\chi^{-1}(\Omega)|^2 S_x(\Omega) + 2\Re[\chi^{-1}(\Omega) S_{xF}(\Omega)] + S_F(\Omega) \quad (116)$$

СКП. Двусторонние спектр. плотности (!)

Пусть  $S_{xF} = 0$ . Тогда

$$S_{\text{sum}}(\Omega) = |\chi^{-1}(\Omega)|^2 S_x(\Omega) + S_F(\Omega) \geq |\chi^{-1}(\Omega)|^2 S_x(\Omega) + \frac{\hbar^2}{4S_x(\Omega)}, \quad (117)$$

$$S_{SQL} = \frac{\hbar}{|\chi(\Omega)|}, \quad \text{optimum at: } \frac{S_F(\Omega)}{S_x(\Omega)} = \frac{1}{|\chi(\Omega)|^2} \quad (118)$$



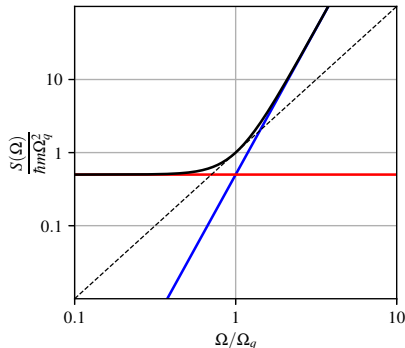
# Линейная квантовая система (прод.)

## Стандартный квантовый предел: свободная масса

Пусть  $\langle S_x S_F \rangle = 0$  и пусть они частотно независимы

$$\chi(\Omega) = \frac{-1}{m\Omega^2}, \quad \text{пусть} \quad S_F = \frac{\hbar m \Omega_q^2}{2}, \quad S_x = \frac{\hbar}{2m\Omega_q^2} \quad (119)$$

$$S_{\text{sum}}(\Omega) = m^2 \Omega^4 S_x + S_F = \frac{\hbar m \Omega^2}{2} \left( \frac{\Omega^2}{\Omega_q^2} + \frac{\Omega_q^2}{\Omega^2} \right) \geq S_{SQ L}^F = \hbar m \Omega^2.$$



$$\Omega_q^2 = \sqrt{\frac{S_F}{m^2 S_x}} = \frac{8\omega_p \mathcal{I}_0 F^2}{mc^2}$$

Спектральные плотности измерительного шума  $m^2 \Omega^4 S_x$  (синяя линия), шума обратного влияния  $S_F$  (красная линия) и суммарного квантового шума  $S_{\text{sum}}$  (черная линия). Пунктир — СКП.



# Содержание

Статистическая модель квантовой механики

Постулат редукции фон-Неймана

Положительно определенная операторная вероятностная мера

Приближенные измерения

ПОВМ: общий случай

Косвенные измерения

Непрерывные измерения

**Непрерывное измерение фазы: когерентная накачка**

Непрерывное измерение фазы: сжатая накачка

Вариационное измерение

Оптическое сжатие

Оптические потери

Квантовый измеритель скорости

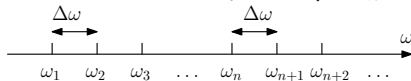
Квантовое описание диссипации осциллятора



## Напоминание: полевые осцилляторы

Поле в конечной длинной линии со стороной  $L$

частота  $n$ -ного осциллятора  $\omega_n = n \Delta\omega$ ,  $\Delta\omega = L/c$



$\Delta\omega \rightarrow 0$  при  $L \rightarrow \infty$ .

Пример: электро-магнитное поле в нулевом состоянии

$$|\psi\rangle_{\text{vac}} = |0_1\rangle|0_2\rangle \dots |0_n\rangle|0_{n+1}\rangle \dots \quad (120)$$

Оператор электрического поля

$$\hat{E} = B \sum_n c_n (\hat{a}_n + \hat{a}_n^\dagger), \quad [\hat{a}_n, \hat{a}_{n'}] = 0, \quad [\hat{a}_n, \hat{a}_{n'}^\dagger] = \delta_{nn'}, \quad (121)$$

$B$  – нормировочная постоянная, коэффициенты  $c_n$  описывают распределение поля. Аналогия с разложением Фурье.



## Напоминание: когерентная накачка

Световой пучок, площадь  $S$ , представление Гейзенберга

Электрическое поле в сечении в пределе  $L \rightarrow \infty$  :

$$E(t) = \int_0^\infty \sqrt{\frac{2\pi\hbar\omega}{Sc}} (a_\omega e^{-i\omega t} + a_\omega^\dagger e^{i\omega t}) \frac{d\omega}{2\pi}, \quad (122)$$

$$[a_\omega, a_{\omega'}] = 0, \quad [a_\omega, a_{\omega'}^\dagger] = 2\pi \delta(\omega - \omega') \quad (123)$$

Представляем как сумму большого среднего поля на несущей  $\omega_0$  и флуктуационного поля

$$E(t) = \sqrt{\frac{2\pi\hbar\omega_0}{Sc}} \left\{ e^{-i\omega_0 t} \left( A + \int_{-\omega_0}^\infty [a_+ e^{-i\Omega t} + a_- e^{i\Omega t}] \frac{d\Omega}{2\pi} \right) \right. \quad (124)$$

$$\left. + e^{i\omega_0 t} \left( A^* + \int_{-\omega_0}^\infty [a_+^\dagger e^{i\Omega t} + a_-^\dagger e^{-i\Omega t}] \frac{d\Omega}{2\pi} \right) \right\}, \quad (125)$$

$$a_+ = a(\omega_0 + \Omega), \quad a_- = a(\omega_0 - \Omega), \quad I_0 = \frac{|E|^2 Sc}{4\pi} = \hbar\omega_0 |A|^2$$



# Напоминание: когерентная накачка

## Детали

См. детали в конспекте

Ф,Я.Халили, “Квантовые колебательные системы”, 2008,

гл. 3 “Квантовые распределенные системы”

<http://osc.phys.msu.ru/>

⇒ Спецкурсы

⇒ 4 КУРС VIII семестр (весна)



# Напоминание: когерентная накачка (прод.)

## Квадратуры

Считаем среднюю амплитуду действительной:  $A = A^*$

$$a_a = \frac{a_+ + a_-^\dagger}{\sqrt{2}}, \quad a_\phi = \frac{a_+ - a_-^\dagger}{i\sqrt{2}}, \quad (126)$$

$$[a_a, a_{\phi'}^\dagger] = -[a_\phi, a_{a'}^\dagger] = i 2\pi \delta(\Omega - \Omega'), \quad (127)$$

$$[a_a, a_{a'}] = [a_a, a_{a'}^\dagger] = [a_\phi, a_{\phi'}] = [a_\phi, a_{\phi'}^\dagger] = 0. \quad (128)$$

Представляем как сумму большого среднего поля на несущей  $\omega_0$  и флуктуационного (в нижнем пределе инт.  $-\omega_0 \simeq -\infty$ )

$$E(t) = \sqrt{\frac{2\pi\hbar\omega_0}{Sc}} \left\{ (e^{-i\omega_0 t} + e^{i\omega_0 t}) \left( A + \int_{-\infty}^{\infty} \frac{a_a e^{-i\Omega t} + a_a^\dagger e^{i\Omega t}}{\sqrt{2}} \frac{d\Omega}{2\pi} \right) + (e^{i\omega_0 t} - e^{-i\omega_0 t}) \int_{-\infty}^{\infty} \frac{a_\phi e^{-i\Omega t} + a_\phi^\dagger e^{i\Omega t}}{i\sqrt{2}} \frac{d\Omega}{2\pi} \right\}. \quad (129)$$



# Напоминание: когерентная накачка (прод.)

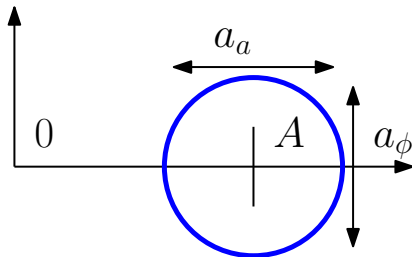
## Средние в когерентном состоянии

$$\langle a_\omega a_{\omega'}^\dagger \rangle = 2\pi \delta(\omega - \omega'), \quad \langle a_\omega^\dagger a_{\omega'} \rangle = 0, \quad (130a)$$

$$\langle a_+ a_{+'}^\dagger \rangle = \langle a_- a_{-'}^\dagger \rangle = 2\pi \delta(\Omega - \Omega'), \quad \langle a_\pm^\dagger a_{\pm'} \rangle = 0, \quad (130b)$$

$$\langle a_a a_{a'}^\dagger \rangle = \left\langle \frac{(a_+ + a_-)(a_{+'}^\dagger + a_{-}')}{2} \right\rangle = \frac{1}{2} 2\pi \delta(\Omega - \Omega'), \quad (130c)$$

$$\langle a_a \circ a_{a'}^\dagger \rangle = \frac{1}{2} 2\pi \delta(\Omega - \Omega'), \quad \langle a_\phi \circ a_{\phi'}^\dagger \rangle = \frac{1}{2} 2\pi \delta(\Omega - \Omega') \quad (130d)$$



$$\langle a_a \circ a_{\phi'}^\dagger \rangle = 0 \quad (131)$$

$$\langle a_\phi \circ a_{a'}^\dagger \rangle = 0 \quad (132)$$

Задача 6.



# Напоминание: когерентная накачка (прод.)

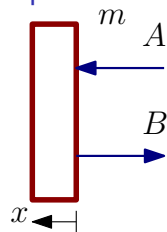
## Спектральные плотности

Односторонняя спектральная плотность в 2 раза больше.

$$\text{Двусторон. } \frac{1}{2} 2\pi\delta(\Omega - \Omega') S_a(\Omega) = \langle a_a \circ a_{a'}^\dagger \rangle, \Rightarrow S_a(\Omega) = \frac{1}{2}, \quad (133)$$

$$\frac{1}{2} 2\pi\delta(\Omega - \Omega') S_\phi(\Omega) = \langle a_\phi \circ a_{\phi'}^\dagger \rangle, \Rightarrow S_\phi(\Omega) = \frac{1}{2} \quad (134)$$

Простейший оптический датчик. Спектральное предст.



$$b(\Omega) = a(\Omega) + A 2ikx(\Omega), \quad A = A^* \quad (135a)$$

$$b_a(\Omega) = a_a(\Omega), \quad (135b)$$

$$b_\phi(\Omega) = a_\phi(\Omega) + A 2\sqrt{2}kx(\Omega), \quad (135c)$$

$$\begin{aligned} -m\Omega^2 x &= 2\hbar k \left[ (A + a_+)(A + a_-^\dagger) - A^2 \right] + F_s = \\ &= 2\sqrt{2}\hbar k A a_a + F_s \end{aligned} \quad (135d)$$

Простейший датчик с непрерывной накачкой



# Простейший оптический датчик (прод.)

## Исходные уравнения

Собираем

$$b_a(\Omega) = a_a(\Omega), \quad (136a)$$

$$b_\phi(\Omega) = a_\phi(\Omega) + \frac{8\hbar k^2 A^2}{-m\Omega^2} a_a + 2\sqrt{2}kA \frac{F_s}{-m\Omega^2} = \quad (136b)$$

$$= a_\phi(\Omega) - \mathcal{K} a_a - \sqrt{2\mathcal{K}} f_s, \quad (136c)$$

$$\boxed{\mathcal{K} = \frac{8\hbar k^2 A^2}{m\Omega^2}, \quad f_s = \frac{F_s}{\sqrt{2\hbar m\Omega^2}}} \quad (136d)$$

СКП для координаты и силы,  $S^O$  – односторонние

$$S_{x,SQL} = \frac{\hbar}{m\Omega^2}, \quad S_{F,SQL} = S_{x,SQL} \cdot (m\Omega^2)^2 = \hbar m\Omega^2, \quad (137)$$

$$S_{x,SQL}^O = \frac{2\hbar}{m\Omega^2}, \quad S_{F,SQL}^O = 2\hbar m\Omega^2 \quad (138)$$



# Простейший оптический датчик: когерентная накачка

## Спектральная плотность, пересчитанная к СКП силы

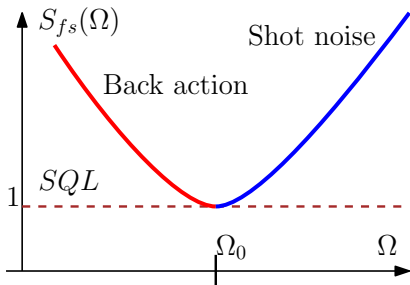
$$(136c) : b_\phi = \sqrt{2\mathcal{K}} \left( \frac{a_\phi(\Omega)}{\sqrt{2\mathcal{K}}} - a_a(\Omega) \sqrt{\frac{\mathcal{K}}{2}} - f_s(\Omega) \right) \quad (139)$$

Односторонняя сп. плотность  
 $S_{f_s}$  (пересчитана к  $f_s$ )

$$S_{f_s}(\Omega) = \frac{1}{2\mathcal{K}} + \frac{\mathcal{K}}{2} \quad (140)$$

$$S_{f_s}^{\min}(\Omega_0) = 1, \Rightarrow \mathcal{K} = \frac{\Omega_0^2}{\Omega^2}$$

$$S_{f_s}(\Omega) = \frac{1}{2} \left( \frac{\Omega^2}{\Omega_0^2} + \frac{\Omega_0^2}{\Omega^2} \right) \quad (141)$$



См. (120). Задача 7.

Ошибка измерения и  
 обратное флукт. влияние  
 (ОФВ)



# Содержание

Статистическая модель квантовой механики

Постулат редукции фон-Неймана

Положительно определенная операторная вероятностная мера

Приближенные измерения

ПОВМ: общий случай

Косвенные измерения

Непрерывные измерения

Непрерывное измерение фазы: когерентная накачка

**Непрерывное измерение фазы: сжатая накачка**

Вариационное измерение

Оптическое сжатие

Оптические потери

Квантовый измеритель скорости

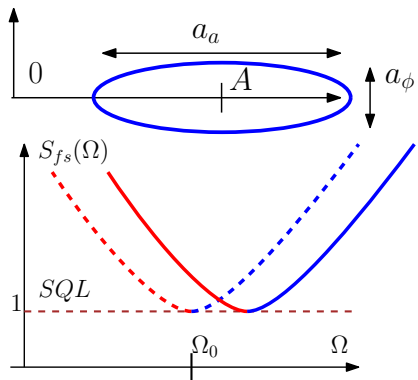
Квантовое описание диссипации осциллятора



# Сжатие по фазе (измерение фазовой квадратуры)

“Флуктуационный эллипс”,  $a_a$  и  $a_\phi$  НЕ коррелируют

Односторонние сп. плотности



$$S_a(\Omega) = e^{-r}, \quad (142)$$

$$S_\phi(\Omega) = e^{-r}, \quad r > 0, \quad (143)$$

$$S_{fs}(\Omega) = \frac{S_\phi}{2\mathcal{K}} + \frac{S_a\mathcal{K}}{2} = \quad (144)$$

$$= \frac{e^{-r}}{2\mathcal{K}} + \frac{e^r\mathcal{K}}{2}, \quad (145)$$

$$\text{Пусть } \mathcal{K} = \frac{\Omega_0^2}{\Omega^2}$$

$$S_{fs} = \frac{e^{-r}\Omega^2}{2\Omega_0^2} + \frac{e^r\Omega_0^2}{2\Omega^2} \quad (146)$$

Сжатие фазы не позволяет преодолеть СКП.

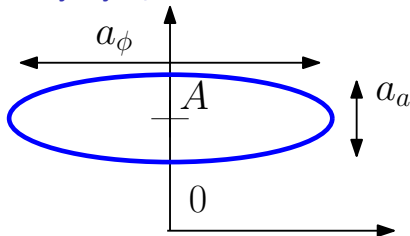
Сжатие по фазе уменьшает ошибку измерения на **ВЫСОКИХ** частотах.

Сжатие по фазе увеличивает ОФВ на **НИЗКИХ** частотах.



# Сжатие по амплитуде (измерение фазовой квадратуры)

“Флуктуационный эллипс”,  $a_a$  и  $a_\phi$  НЕ коррелируют



Односторонние сп. плотности

$$S_a(\Omega) = e^{-r}, \quad (147)$$

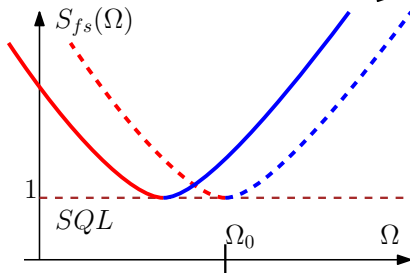
$$S_\phi(\Omega) = e^r, \quad r > 0, \quad (148)$$

$$S_{fs}(\Omega) = \frac{S_\phi}{2\mathcal{K}} + \frac{S_a\mathcal{K}}{2} = \quad (149)$$

$$= \frac{e^r}{2\mathcal{K}} + \frac{e^{-r}\mathcal{K}}{2}, \quad (150)$$

Пусть  $\mathcal{K} = \frac{\Omega_0^2}{\Omega^2}$

$$S_{fs} = \frac{e^r\Omega^2}{2\Omega_0^2} + \frac{e^{-r}\Omega_0^2}{2\Omega^2} \quad (151)$$



Сжатие по амплитуде не позволяет преодолеть СКП.

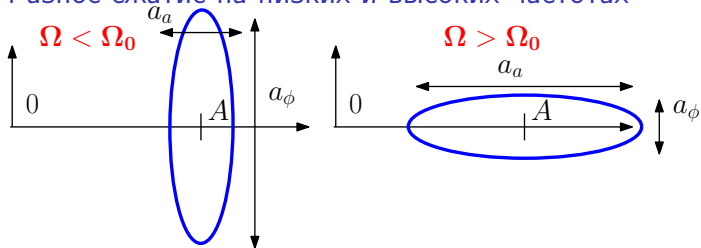
Сжатие по амп. увеличивает ошибку изм. на **ВЫСОКИХ** частотах.

Сжатие по амплитуде уменьшает ОФВ на **НИЗКИХ** частотах.

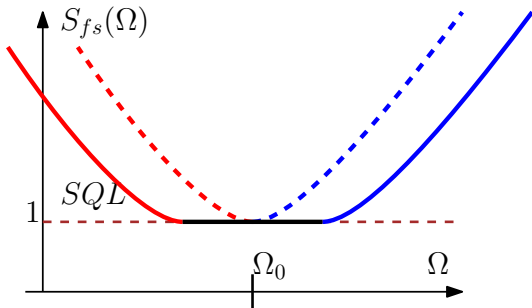


# Частотно-зависимое сжатие

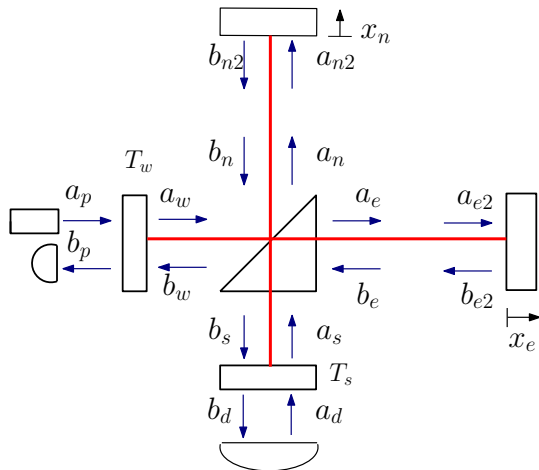
Разное сжатие на низких и высоких частотах



Тогда есть выигрыш и на низких, и на высоких частотах:



## Частотно-зависимое сжатие в LIGO



Накачка создает средние поля, а флуктуации – из темного порта ( $a_d$ ). Первоначально было  $a_d$  – нулевые вакуумные флуктуации, сейчас  $a_d$  – сжатый свет с частотной зависимостью. Сжатие на уровне 3...4 dB.



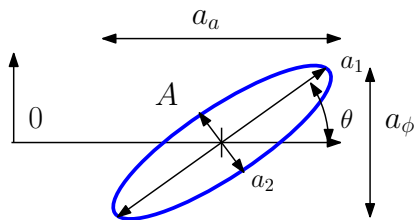
# Произвольное сжатие: измерение фазовой квадратуры

## Преобразования Боголюбова

$a_v$  – вакуум.

$$a = a_v \cosh r + e^{i\phi} a_{v-}^\dagger \sinh r, \quad a_-^\dagger = a_{v-}^\dagger \cosh r + a_v e^{-i\phi} \sinh r, \quad (152)$$

$$a_1 = \frac{a + a_-^\dagger}{\sqrt{2}} = e^r a_{v1}, \quad a_2 = \frac{a - a_-^\dagger}{i\sqrt{2}} = e^{-r} a_{v2}, \quad \text{Здесь } \phi = 0$$



Квадратуры  $a_1, a_2$  не коррелируют:

$$\langle a_1(\Omega) a_2^\dagger(\Omega') \rangle = 0, \quad (153)$$

$$a_a = a_1 \cos \theta - a_2 \sin \theta, \quad (154)$$

$$a_\phi = a_1 \sin \theta + a_2 \cos \theta \quad (155)$$

$$\langle a_1(\Omega) a_1^\dagger(\Omega') \rangle = \langle a_1^\dagger(\Omega) a_1(\Omega') \rangle = e^{2r} \frac{2\pi}{2} \delta(\Omega - \Omega'), \quad (156)$$

$$\langle a_2(\Omega) a_2^\dagger(\Omega') \rangle = \langle a_2^\dagger(\Omega) a_2(\Omega') \rangle = e^{-2r} \pi \delta(\Omega - \Omega') \quad (157)$$



# Произвольное сжатие: изм. фазовой квадратуры (прод.)

Вычисляем

$$\langle a_a(\Omega) a_a^\dagger(\Omega') \rangle = \langle a_1(\Omega) a_1^\dagger(\Omega') \rangle \cos^2 \theta + \langle a_2(\Omega) a_2^\dagger(\Omega') \rangle \sin^2 \theta = \quad (158)$$

$$= (e^{2r} \cos^2 \theta + e^{-2r} \sin^2 \theta) \pi \delta(\Omega - \Omega'), \quad (159)$$

$$\langle a_\phi(\Omega) a_\phi^\dagger(\Omega') \rangle = (e^{2r} \sin^2 \theta + e^{-2r} \cos^2 \theta) \pi \delta(\Omega - \Omega'), \quad (160)$$

$$\langle a_a(\Omega) a_\phi^\dagger(\Omega') \rangle = \langle a_\phi(\Omega) a_a^\dagger(\Omega') \rangle = \quad (161)$$

$$= (e^{2r} - e^{-2r}) \sin \theta \cos \theta \pi \delta(\Omega - \Omega') \quad (162)$$

Есть корреляция между  $a_a$  и  $a_\phi$  (!)

Подставляем (154 и 155) в (136с)

$$f_s \geq \frac{a_1 \sin \theta + a_2 \cos \theta}{\sqrt{2\mathcal{K}}} - (a_1 \cos \theta - a_2 \sin \theta) \sqrt{\frac{\mathcal{K}}{2}} \quad (163)$$



## Произвольное сжатие: изм. фазовой квадратуры (прод.)

Вычисляем спектральную плотность  $S_{fs}$

Учитываем независимость  $a_1$  и  $a_2$  (158)

$$S_{fs} = e^{2r} \left( \frac{\sin \theta}{\sqrt{2K}} - \cos \theta \sqrt{\frac{K}{2}} \right)^2 + e^{-2r} \left( \frac{\cos \theta}{\sqrt{2K}} + \sin \theta \sqrt{\frac{K}{2}} \right)^2 =$$
$$= \frac{e^{2r} \sin^2 \theta + e^{-2r} \cos^2 \theta}{2K} + (e^{2r} \cos^2 \theta + e^{-2r} \sin^2 \theta) \frac{K}{2} + \quad (164a)$$

$$- (e^{2r} - e^{-2r}) \sin \theta \cos \theta = \quad (164b)$$

$$\underbrace{=}_{\theta=\pi/4} \frac{e^{2r} + e^{-2r}}{4K} + (e^{2r} + e^{-2r}) \frac{K}{4} - \frac{1}{2} (e^{2r} - e^{-2r}) \geq \quad (164c)$$

$$\geq \frac{e^{2r} + e^{-2r}}{2} - \frac{1}{2} (e^{2r} - e^{-2r}) = e^{-2r} < 1 \quad (164d)$$

Это значит, что можно преодолеть СКП при измерении *фазовой* квадратуры, используя сжатый свет (!)



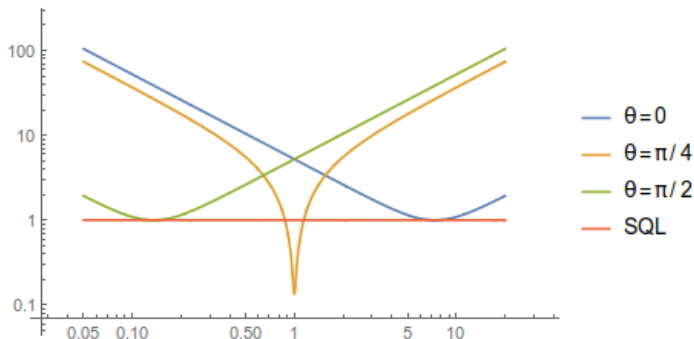
# Произвольное сжатие: изм. фазовой квадратуры (прод.)

## Графики

Положим  $K = \Omega_0^2/\Omega^2$ . В случае  $\theta = 0, \pi/2$ :

$$S_{fs}^{\theta=0} = \frac{1}{2} \left( \frac{e^{-2r}\Omega^2}{\Omega_0^2} + \frac{e^{2r}\Omega_0^2}{\Omega^2} \right), \quad (165)$$

$$S_{fs}^{\theta=\pi/2} = \frac{1}{2} \left( \frac{e^{2r}\Omega^2}{\Omega_0^2} + \frac{e^{-2r}\Omega_0^2}{\Omega^2} \right) \quad (166)$$



Задача 8.



# Содержание

Статистическая модель квантовой механики

Постулат редукции фон-Неймана

Положительно определенная операторная вероятностная мера

Приближенные измерения

ПОВМ: общий случай

Косвенные измерения

Непрерывные измерения

Непрерывное измерение фазы: когерентная накачка

Непрерывное измерение фазы: сжатая накачка

**Вариационное измерение**

Оптическое сжатие

Оптические потери

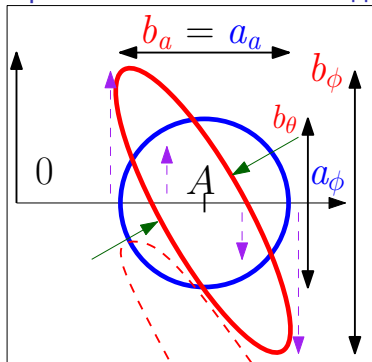
Квантовый измеритель скорости

Квантовое описание диссипации осциллятора



## Вариационное измерение

Простейший оптический датчик. Спектральное предст.



$$b_a(\Omega) = a_a(\Omega), \quad (167)$$

$$b_\phi(\Omega) = a_\phi(\Omega) - \mathcal{K}a_a - \sqrt{2\mathcal{K}} f_s, \quad (168)$$

$$\mathcal{K} = \frac{8\hbar k^2 A^2}{m\Omega^2}, \quad f_s = \frac{F_s}{\sqrt{2\hbar m\Omega^2}}$$

Пондеромоторное сжатие

Балансный гомодинный детектор измеряет квадратуру:

$$b_\theta = b_a \cos \theta + b_\phi \sin \theta = \quad (169)$$

$$= \mathbf{a}_a (\cos \theta - \mathcal{K} \sin \theta) + a_\phi \sin \theta - \sqrt{2\mathcal{K}} f_s \sin \theta \quad (170)$$



## Вариационное измерение (прод.)

Выбираем гомодинный угол на заданной частоте  $\Omega_0$

$$\operatorname{ctg} \theta = \mathcal{K}(\Omega_0), \Rightarrow b_\theta = \sin \theta \left\{ \mathbf{a}_a (\mathcal{K}(\Omega_0) - \mathcal{K}) + a_\phi - \sqrt{2\mathcal{K}} f_s \right\}$$

$$\text{Пусть } \mathcal{K} = \mathcal{K}_0 \frac{\Omega_0^2}{\Omega^2}, \Rightarrow \quad (171)$$

$$b_\theta = \sin \theta \left\{ \mathbf{a}_a \mathcal{K}_0 \left( 1 - \frac{\Omega_0^2}{\Omega^2} \right) + a_\phi - \sqrt{2\mathcal{K}_0} \frac{\Omega_0^2}{\Omega^2} \cdot f_s \right\}, \quad (172)$$

Спектральная плотность (пересчитанная к СКП силы):

$$S_{f_s}(\Omega) = \frac{\mathcal{K}_0 \Omega^2}{2\Omega_0^2} \left( 1 - \frac{\Omega_0^2}{\Omega^2} \right)^2 + \frac{\Omega^2}{2\mathcal{K}_0 \Omega_0^2}, \quad (173)$$

$$S_{f_s}(\Omega_0) = \frac{1}{2\mathcal{K}_0}, \quad \text{СКП может быть преодолён!} \quad (174)$$

В (173) падающая волна — в когерентном состоянии.



# Вариационное измерение (прод.)

## Когерентная накачка. Графики

$$S_{fs}(\Omega) = \frac{\mathcal{K}_0 \Omega^2}{2\Omega_0^2} \left(1 - \frac{\Omega_0^2}{\Omega^2}\right)^2 + \frac{\Omega^2}{2\mathcal{K}_0 \Omega_0^2}, \quad (\text{Задача 9}) \quad (175)$$

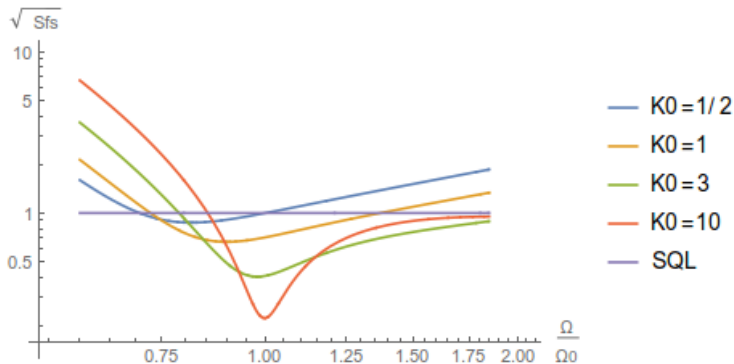
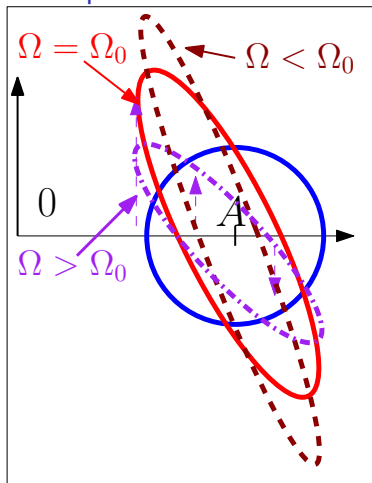


Рис. 6: Графики чувствительности  $\sqrt{S_{fs}(\Omega)}$  для вариационного измерения



# Вариационное измерение (прод.)

## Спектрально-зависимое сжатие выходного света



$$b_{\theta} = \sin \theta \{ \mathbf{a}_a (\operatorname{ctg} \theta - \mathcal{K}) + a_{\phi} - \sqrt{2\mathcal{K}} f_s \} \quad (176)$$

Наблюдение сжатия на выбранной частоте  $\Omega_0$  требует определенного выбора угла  $\theta$ :

$$\operatorname{ctg} \theta = \mathcal{K}(\Omega_0) \quad (177)$$

На частотах  $\Omega > \Omega_0$  сжатие меньше, т.к.  $\mathcal{K}(\Omega) < \mathcal{K}(\Omega_0)$ .

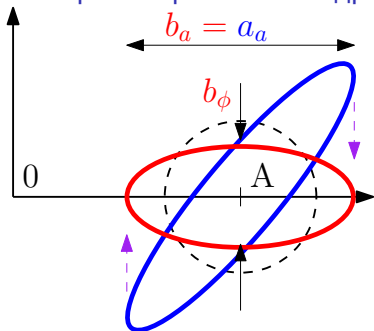
На частотах  $\Omega < \Omega_0$  сжатие больше, т.к.  $\mathcal{K}(\Omega) > \mathcal{K}(\Omega_0)$

Задача 10.



# Вариационное измерение: сжатый входной свет

## Измерение фазовой квадратуры



$$\mathbf{b}_a = \mathbf{a}_a, \quad (178)$$

$$\mathbf{b}_\phi = \mathbf{a}_\phi - \mathcal{K}\mathbf{a}_a - \sqrt{2\mathcal{K}}f_s$$

Фазовая квадратура  $\mathbf{b}_\phi$  сжата,  
 $\Rightarrow$  СКП преодолен (!)

Падающий свет должен быть  
сжат “против” пондеромоторно-  
го сжатия.

Этот случай и рассмотрен ранее, см. уравнения (164).

Угол  $\theta$  наклона эллипса выбирается так, чтобы занулить член  $\sim e^{2r}$ .



# Содержание

Статистическая модель квантовой механики

Постулат редукции фон-Неймана

Положительно определенная операторная вероятностная мера

Приближенные измерения

ПОВМ: общий случай

Косвенные измерения

Непрерывные измерения

Непрерывное измерение фазы: когерентная накачка

Непрерывное измерение фазы: сжатая накачка

Вариационное измерение

**Оптическое сжатие**

Оптические потери

Квантовый измеритель скорости

Квантовое описание диссипации осциллятора



## Сжатие: $\chi^{(3)}$ нелинейность

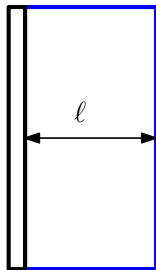
Поляризуемость  $P$  и восприимчивость  $\chi$

$$\epsilon = 1 + 4\pi\chi, \quad \vec{P} = \chi\vec{E}, \quad P = \chi^{(1)}E + \chi^{(2)}E^2 + \chi^{(3)}E^3 + \dots \quad (179)$$

В общем случае зависимость тензорная.

Использование  $\chi^{(3)}$  нелинейности

$$n = n_0 + \beta A^2$$



$$n = n_0 + \beta|A + a|^2 \simeq \quad (180)$$

$$\simeq n_0 + \beta|A|^2 + \beta A (a + a_-^\dagger) + \dots,$$

$$B = B + b, \quad \bar{n}_0 \equiv n_0 + \beta A^2,$$

$$B = A e^{2ik\bar{n}_0 l} \left( 1 + 2ik\bar{n}_0 l \sqrt{2}\beta A a_a \right)$$

$$b_a = a_a, \quad (181)$$

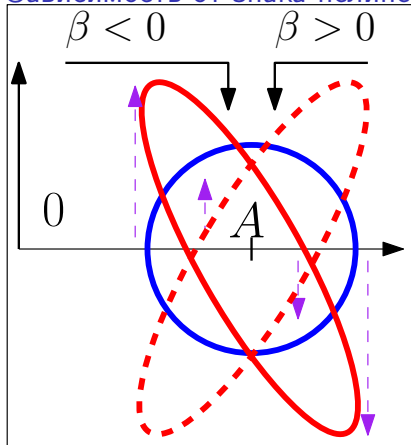
$$b_\phi = a_\phi + \mathcal{N} a_a, \quad (182)$$

$$N = 4k\bar{n}_0 l \beta A^2 \quad (183)$$



## Сжатие: $\chi^{(3)}$ нелинейность (прод.)

Зависимость от знака нелинейности



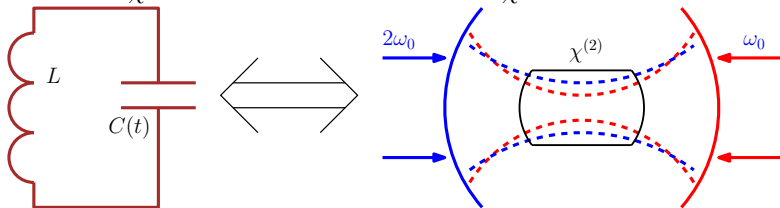
Сжатие зависит от знака  $\beta$ . Амплитудная квадратура сохраняется. Сжатие подобно пондеромоторному. Отличие — разная частотная зависимость.



## Сжатие. $\chi^{(2)}$ нелинейность

Вырожденный параметрический усилитель: исходные ур-ия

Величина  $\chi^{(2)}$  обычно много больше чем  $\chi^{(3)}$ .



$C(t) = \frac{C_0}{1-2m \cos \omega_0 t}$ ,  $m \ll 1$ ,  $\Rightarrow \omega \simeq \omega_0(1 + m \cos \omega_0 t)$ . Задача 13.

$$\mathcal{H} = \hbar\omega_0 \left\{ a^\dagger a + \frac{m}{4} (e^{2i\omega_0 t} a a + e^{-2i\omega_0 t} a^\dagger a^\dagger) \right\}, \quad (184)$$

$$\dot{a} = -i\omega_0 \left( a + \frac{m}{2} e^{-2i\omega_0 t} a^\dagger \right), \quad \dot{a}^\dagger = i\omega_0 \left( a^\dagger + \frac{m}{2} e^{2i\omega_0 t} a \right), \quad (185)$$

$$\text{МА: } a \rightarrow a e^{-i\omega_0 t}, \quad a^\dagger \rightarrow a^\dagger e^{i\omega_0 t}, \quad (186)$$

$$\Rightarrow \dot{a} = -i\kappa a^\dagger, \quad \dot{a}^\dagger = i\kappa a, \quad \boxed{\kappa = \frac{m\omega_0}{2}} \Rightarrow \ddot{a} - \kappa^2 a = 0 \quad (187)$$



## Сжатие: $\chi^{(2)}$ нелинейность (прод.)

Вырожденный параметрический усилитель: решение

Решение (187)

$$a = a_0 \cosh \kappa t - i a_0^\dagger \sinh \kappa t, \quad a_0 = a(0), \quad a_0^\dagger = a^\dagger(0) \quad (188)$$

$$a^\dagger = a_0^\dagger \cosh \kappa t + i a_0 \sinh \kappa t, \quad (189)$$

Преобразование Боголюбова ( $\mu, \nu$  — комплексные константы):

$$a = \mu a_0 + \nu^* a_0^\dagger, \quad a_0^\dagger = \nu a_0 + \mu^* a_0^\dagger, \quad |\mu|^2 - |\nu|^2 = 1, \quad [a, a^\dagger] = [a_0, a_0^\dagger],$$

Квадратуры:

$$a_a = \frac{a + a^\dagger}{\sqrt{2}} = \frac{(\mu + \nu)a_0 + (\mu^* + \nu^*)a_0^\dagger}{\sqrt{2}} = (\mu + \nu) \frac{a_0 + a_0^\dagger}{\sqrt{2}} \quad (190)$$

$$a_\phi = \frac{a - a^\dagger}{i\sqrt{2}} = \frac{(\mu - \nu)a_0 - (\mu^* - \nu^*)a_0^\dagger}{i\sqrt{2}} = (\mu - \nu) \frac{a_0 - a_0^\dagger}{i\sqrt{2}} \quad (191)$$

Синие члены —  $\mu = \mu^*, \nu = \nu^*$



# Сжатие

## Детали описания сжатия

Пусть  $\mu = \mu^*$ ,  $\nu = |\nu|e^{-2i\phi}$ , тогда преобразование квадратур:

$$a_a = (\mu + |\nu| \cos 2\phi) a_{a0} + |\nu| \sin 2\phi a_{\phi 0}, \quad (192)$$

$$a_\phi = |\nu| \sin 2\phi a_{a0} + (\mu - |\nu| \cos 2\phi) a_{\phi 0}, \quad (193)$$

$$\boxed{a_{a0} = \frac{a_0 + a_0^\dagger}{\sqrt{2}}, \quad a_{\phi 0} = \frac{a_0 - a_0^\dagger}{i\sqrt{2}}} \quad (194)$$

Или в матричном виде

$$\begin{pmatrix} a_a \\ a_\phi \end{pmatrix} = \begin{pmatrix} (\mu + |\nu| \cos 2\phi) & |\nu| \sin 2\phi \\ |\nu| \sin 2\phi & (\mu - |\nu| \cos 2\phi) \end{pmatrix} \cdot \begin{pmatrix} a_{a0} \\ a_{\phi 0} \end{pmatrix} \quad (195)$$

Пусть на входе не сжатое (когерентное) состояние. Тогда при  $\phi = 0, \pi/2$  выходные квадратуры  $(a_a, a_\phi)$  будут сжаты и **не коррелированы** — это соответствует осям эллипса сжатия. Если же  $\phi \neq 0, \pi/2$ , выходные квадратуры  $(a_a, a_\phi)$  будут **коррелированы** — это НЕ соответствует осям эллипса сжатия



# Содержание

Статистическая модель квантовой механики

Постулат редукции фон-Неймана

Положительно определенная операторная вероятностная мера

Приближенные измерения

ПОВМ: общий случай

Косвенные измерения

Непрерывные измерения

Непрерывное измерение фазы: когерентная накачка

Непрерывное измерение фазы: сжатая накачка

Вариационное измерение

Оптическое сжатие

**Оптические потери**

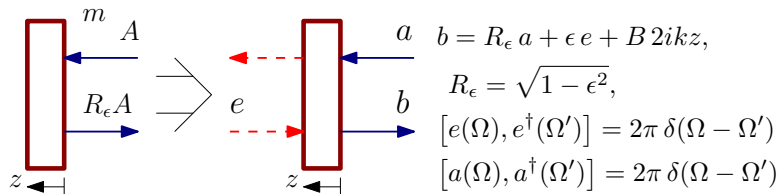
Квантовый измеритель скорости

Квантовое описание диссипации осциллятора



# Оптические потери: простейшая модель

## Модель потерь отражающего зеркала



Потери (амплитудный коэффициент отражения  $R_\epsilon < 1$ ):

- 1) Отраженная волна меньше падающей; 2) Флуктуационное поле  $e$   
 Для отраженного поля сохраняется коммутатор  $[b(\Omega), b^\dagger(\Omega')]$ .  
 Флуктуационная сила лебедевского давления (спектральное предс.)

$$F_{fl} = \hbar k \left( A \left( a_+ + a_-^\dagger \right) + B \left( b_+ + b_-^\dagger \right) \right) = \quad (196)$$

$$= \sqrt{2} \hbar k A \left( (2 - \epsilon^2) a_a + \epsilon \sqrt{1 - \epsilon^2} e_a \right) = \quad (197)$$

$$= \sqrt{2} \hbar k A \left( (1 + R_\epsilon^2) a_a + \epsilon R_\epsilon e_a \right) \underset{\epsilon \ll 1}{\simeq} 2\sqrt{2} \hbar k A \left( a_a + \frac{\epsilon}{2} e_a \right) \quad (198)$$



# Оптические потери: простейшая модель (прод.)

## Отраженная волна: квадратуры

$$b_a = R_\epsilon a_a + \epsilon e_a, \quad (199a)$$

$$b_\phi = R_\epsilon a_\phi + \epsilon e_\phi - \mathcal{K}_\epsilon \left\{ \frac{1}{2} \left( R_\epsilon + \frac{1}{R_\epsilon} \right) a_a + \frac{\epsilon}{2} e_a \right\} - \sqrt{2\mathcal{K}_\epsilon} f_s$$

$$\boxed{\mathcal{K}_\epsilon = \frac{8\hbar k^2 R_\epsilon^2 A^2}{m\Omega^2}, \quad R_\epsilon = \sqrt{1 - \epsilon^2}} \quad (199b)$$

## Измерение фазы. Когерентная накачка

Спектральная плотность  $S_{fs}$

$$S_{fs} = \frac{R_\epsilon^2}{2\mathcal{K}_\epsilon} + \frac{\mathcal{K}_\epsilon}{2} \left( \frac{R_\epsilon^2 + 1}{2R_\epsilon} \right)^2 + \epsilon^2 \left( \frac{1}{2\mathcal{K}_\epsilon} + \frac{\mathcal{K}_\epsilon}{8} \right) \quad (200)$$

$$\geq \frac{R_\epsilon^2 + 1}{2} + \epsilon^2 \left( \frac{1}{2} + \frac{1}{8} \right) + \mathcal{O}(\epsilon^4) = 1 + \frac{\epsilon^2}{8} + \mathcal{O}(\epsilon^4) \quad (201)$$



# Оптические потери: простейшая модель (прод.)

## Вариационное измерение

$$b_a = R_\epsilon a_a + \epsilon e_a, \quad (202a)$$

$$b_\phi = R_\epsilon a_\phi + \epsilon e_\phi - \mathcal{K}_\epsilon \left\{ \frac{1}{2} \left( R_\epsilon + \frac{1}{R_\epsilon} \right) a_a + \frac{\epsilon}{2} e_a \right\} - \sqrt{2\mathcal{K}_\epsilon} f_s$$

$$b_{VM} = b_a \cos \theta + b_\phi \sin \theta = \quad (202b)$$

$$= \sin \theta \left\{ R_\epsilon a_\phi + \left\{ R_\epsilon \operatorname{ctg} \theta - \frac{\mathcal{K}_\epsilon}{2} \left( R_\epsilon + \frac{1}{R_\epsilon} \right) \right\} a_a + \right. \quad (202c)$$

$$\left. + \epsilon e_\phi + \left( \operatorname{ctg} \theta - \frac{\mathcal{K}_\epsilon}{2} \right) \epsilon e_a - \sqrt{2\mathcal{K}_\epsilon} f_s \right\} \quad (202d)$$

Когерентная накачка. Малые потери  $\epsilon \ll 1$ ,  $\operatorname{ctg} \theta \simeq \mathcal{K}_\epsilon / R_\epsilon$

Задача 11

$$S_{fs}(\Omega_0) = \frac{1}{2\mathcal{K}_\epsilon} + \epsilon^2 \cdot \frac{\mathcal{K}_\epsilon}{8} + \mathcal{O}(\epsilon^4) \quad (203)$$



# Оптические потери и сжатие

## Отражение сжатого света от неподвижного зеркала

Зеркало с оптическими потерями. Используем (199)

$$b_a = R_\epsilon a_a + \epsilon e_a = R_\epsilon e^r a_{a \text{ vac}} + \epsilon e_a, \quad (204)$$

$$b_\phi = R_\epsilon a_\phi + \epsilon e_\phi = R_\epsilon e^{-r} a_{\phi \text{ vac}} + \epsilon e_\phi, \quad (205)$$

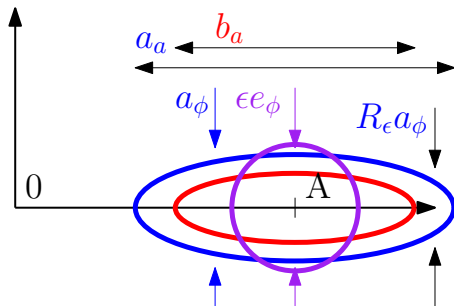


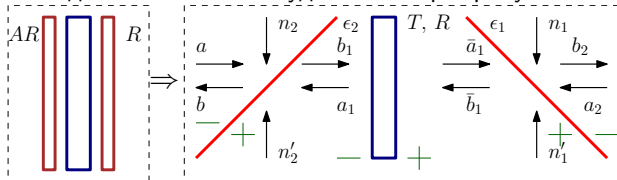
Рис. 7: При отражении от зеркала с оптическими потерями сжатие падающего света (синий эллипс) деградирует (сумма красного эллипса и фиолетовой сферы).



# Оптические потери: общий случай

## Произвольное зеркало с потерями

Модель зеркала с потерями: зеркало без потерь плюс два светоделителя с амплитудными коэф. пропускания  $\epsilon_1, \epsilon_2 \ll 1$



Потери зеркала “слева” и “справа” могут быть разными

$$\text{BS } \epsilon_2 : \quad b = \sqrt{1 - \epsilon_2^2} a_1 - \epsilon_2 n_2, \quad (206)$$

$$\text{BS } \epsilon_2 : \quad b_1 = \sqrt{1 - \epsilon_2^2} a + \epsilon_2 n'_2, \quad (207)$$

$$\text{BS } \epsilon_1 : \quad b_2 = \sqrt{1 - \epsilon_1^2} \bar{a}_1 - \epsilon_1 n_1, \quad (208)$$

$$\text{BS } \epsilon_1 : \quad \bar{b}_1 = \sqrt{1 - \epsilon_1^2} a_2 + \epsilon_1 n'_1, \quad (209)$$

$$T, R : \quad \bar{a}_1 = R\bar{b}_1 + T b_1, \quad a_1 = -R b_1 + T \bar{b}_1, \quad (210)$$



# Оптические потери: общий случай

Произвольное зеркало с потерями — решение

Точное решение

$$b = \left( -aR\sqrt{1 - \epsilon_2^2} + a_2T\sqrt{1 - \epsilon_1^2} \right) \sqrt{1 - \epsilon_2^2} + n_b \quad (211)$$

$$n_b \equiv n'_1 T \epsilon_1 \sqrt{1 - \epsilon_2^2} - n_2 \epsilon_2 - n'_2 R \epsilon_2 \sqrt{1 - \epsilon_2^2} \quad (212)$$

$$b_2 = \sqrt{1 - \epsilon_1^2} \left( a_2 R \sqrt{1 - \epsilon_1^2} + a T \sqrt{1 - \epsilon_2^2} \right) + n_{b2} \quad (213)$$

$$n_{b2} \equiv -n_1 \epsilon_1 + n'_1 R \epsilon_1 \sqrt{1 - \epsilon_1^2} + n'_2 T \epsilon_2 \sqrt{1 - \epsilon_1^2} \quad (214)$$

Коммутаторы:

$$\left[ n_1(\Omega), n_1^\dagger(\Omega') \right] = \left[ n'_1(\Omega), n_1^{\dagger}(\Omega') \right] = \dots = 2\pi \delta(\Omega - \Omega') \quad (215)$$

$$\left[ n_b(\Omega), n_{b2}^\dagger(\Omega') \right] = TR\sqrt{1 - \epsilon_1^2}\sqrt{1 - \epsilon_2^2} (\epsilon_1^2 - \epsilon_2^2) \cdot 2\pi \delta(\Omega - \Omega') \quad (216)$$

В случае  $\epsilon_1 = \epsilon_2$  последний коммутатор равен нулю.



## Оптические потери: “симметричный” случай

Зеркало с “симметричными” потерями — решение

Точное решение для случая  $\epsilon_1 = \epsilon_2 \Rightarrow \epsilon$

$$b = -aR(1 - \epsilon^2) + a_2T(1 - \epsilon^2) + n_b \quad (217)$$

$$n_b \equiv \epsilon \left( n'_1T\sqrt{1 - \epsilon^2} - n_2 - n'_2R\sqrt{1 - \epsilon^2} \right) \quad (218)$$

$$b_2 = a_2R(1 - \epsilon^2) + aT(1 - \epsilon^2) + n_{b2} \quad (219)$$

$$n_{b2} \equiv \epsilon \left( -n_1 + n'_1R\sqrt{1 - \epsilon^2} + n'_2T\sqrt{1 - \epsilon^2} \right) \quad (220)$$

Коммутаторы:

$$\left[ n_b(\Omega), n_b^\dagger(\Omega') \right] = \left[ n_{b2}(\Omega), n_{b2}^\dagger(\Omega') \right] = \epsilon^2 (2 - \epsilon^2) 2\pi \delta(\Omega - \Omega') \quad (221)$$

$$\left[ n_b(\Omega), n_{b2}^\dagger(\Omega') \right] = \left[ n_{b2}(\Omega), n_b^\dagger(\Omega') \right] = 0 \quad (222)$$

Шумы  $n_b, n_{b2}$  **не зависят**.



# Оптические потери: общий случай, малые потери

## Произвольное зеркало с *малыми* потерями

Пусть  $\epsilon_1, \epsilon_2 \ll 1$ . Линейное приближение по  $\epsilon_1, \epsilon_2$ :

$$b = -aR + a_2T + n_b, \quad \boxed{n_b \simeq n'_1T\epsilon_1 - n_2\epsilon_2 - n'_2R\epsilon_2} \quad (223)$$

$$b_2 = a_2R + aT + n_{b2}, \quad \boxed{n_{b2} \simeq -n_1\epsilon_1 + n'_1R\epsilon_1 + n'_2T\epsilon_2} \quad (224)$$

## Зеркало с *малыми симметричными* потерями

В частном случае  $\epsilon_1 = \epsilon_2 \Rightarrow \epsilon$  — шумы  $n_b, n_{b2}$  независимы:

$$n_b = \sqrt{2}\epsilon e_b, \quad n_{b2} = \sqrt{2}\epsilon e_{b2}, \quad \left[ e_b(\Omega), e_{b2}^\dagger(\Omega') \right] = 0 \quad (225)$$

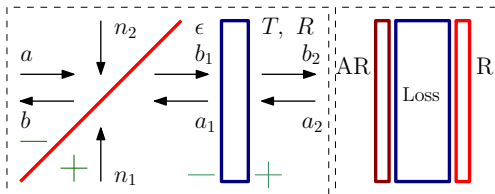
$$\left[ e_b(\Omega), e_b^\dagger(\Omega') \right] = \left[ e_{b2}(\Omega), e_{b2}^\dagger(\Omega') \right] = 2\pi \delta(\Omega - \Omega') \quad (226)$$



# НЕ симметр. модель пропускающего зеркала с потерями

## Потери только в AR покрытии

Отражающее покрытие и толща зеркала не имеют оптических потерь



$$R^2 + T^2 = 1, \quad (227a)$$

$$b_2 = T b_1 + R a_2, \quad (227b)$$

$$a_1 = T a_2 - R b_1, \quad (227c)$$

$$b = r a_1 - \epsilon n_2, \quad (227d)$$

$$b_1 = r a + \epsilon n_1 \quad (227e)$$

Используя (227) можно вывести, используя обозначение  $r = \sqrt{1 - \epsilon^2}$

$$b_2 = T \sqrt{1 - \epsilon^2} a + R a_2 + \epsilon T n_1, \quad (228a)$$

$$b = -R(1 - \epsilon^2) a + \sqrt{1 - \epsilon^2} T a_2 - \epsilon \left\{ \sqrt{1 - \epsilon^2} R n_1 + n_2 \right\} \quad (228b)$$

Соотношения (228) крайне НЕ симметричны, см. **синий** член.

Шумы в  $b_2$  меньше, чем в  $b$  – см. **фиолетовые** члены. Задача 12



# Содержание

Статистическая модель квантовой механики

Постулат редукции фон-Неймана

Положительно определенная операторная вероятностная мера

Приближенные измерения

ПОВМ: общий случай

Косвенные измерения

Непрерывные измерения

Непрерывное измерение фазы: когерентная накачка

Непрерывное измерение фазы: сжатая накачка

Вариационное измерение

Оптическое сжатие

Оптические потери

**Квантовый измеритель скорости**

Квантовое описание диссипации осциллятора



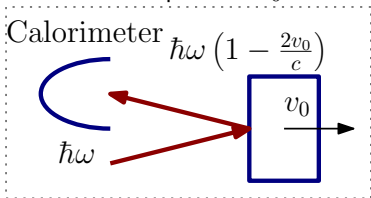
## КНИ измеритель скорости фон Неймана

Пробное тело (свободная масса) движется со скоростью  $v_0$ .

Энергию отраженного фотона можно точно измерить, поглотив в детекторе-калориметра.

Длительность падающего фотона  $\tau$ , неопределенность энергии  $\hbar\Delta\omega \simeq \hbar/\tau$ .

Частота отраженного фотона (эффект Допплера):



$$\omega = \omega \left( 1 - \frac{2v_0}{c} \right)$$

Ошибка измерения скорости:

$$\hbar\omega \frac{2\Delta v}{c} = \hbar\Delta\omega \Rightarrow \Delta v_{\text{изм}} \simeq \frac{c}{2} \frac{\Delta\omega}{\omega} \simeq \frac{c}{2\omega\tau} \quad (229)$$

**Импульс — КНИ переменная (!)**



## КНИ измеритель скорости фон Неймана

Фотон, отражаясь от пробного тела, передает ему импульс  $2\hbar\omega/c$ . Неопределенность момента передачи —  $\tau$ . Поэтому пробное тело *неконтролируемым* образом сдвинется, т.е. его координата возмущается на величину

$$\Delta x_{\text{возм}} \simeq \frac{2\hbar\omega}{mc} \tau \quad (230)$$

Очевидно, что ошибка измерения скорости (импульса) (229) и возмущение координаты (230) будут связаны соотношением неопределенностей:

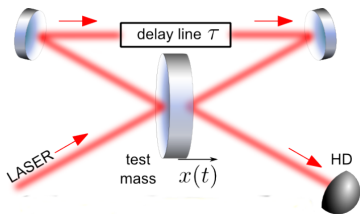
$$\Delta p_{\text{изм}} \Delta x_{\text{возм}} = m \Delta v_{\text{изм}} \Delta x_{\text{возм}} > \frac{\hbar}{2} \quad (231)$$

Подчеркнем, возмущение координаты никак не влияет на точность измерения скорости (импульса) — **КНИ (!)**  
Сложно реализовать!



# Координатный измеритель скорости (не КНИ!)

Измерение разности  $[x(t) - x(t - \tau)]$



$$x(t - \tau) \Rightarrow x(\Omega)e^{i\Omega\tau}$$

$$b = e^{i\Omega\tau} [a + A 2ikx(1 - e^{i\Omega\tau})],$$

$$F_{ba} = 2\hbar k A (a + a_{-}^{\dagger}) (1 - e^{i\Omega\tau}),$$

$$b = e^{i\Omega\tau} a - \frac{A 2ik F_s}{m\Omega^2} (1 - e^{i\Omega\tau}) +$$

$$- \frac{4i\hbar k^2 A^2}{m\Omega^2} (a + a_{-}^{\dagger}) (1 - e^{i\Omega\tau})^2$$

Квадратуры:

$$b_a = e^{i\Omega\tau} a_a, \quad \mathcal{K} = \frac{8\hbar k^2 A^2}{m\Omega^2}, \quad f_s = \frac{F_s}{\sqrt{2\hbar m\Omega^2}} \quad (232)$$

$$b_{\phi} = e^{i\Omega\tau} \left\{ a_{\phi} - \mathcal{K}(1 - e^{i\Omega\tau})^2 a_a \right\} - \sqrt{2\mathcal{K}}(1 - e^{i\Omega\tau}) f_s. \quad (233)$$

Отличие от измерителя координаты:  $\mathcal{K} \rightarrow \mathcal{N} = \mathcal{K} (1 - e^{i\Omega\tau})^2$



# Простейший координатный измеритель скорости (прод.)

Вариационное измерение: измерение опт. квадратуры

$$b_\theta = b_a \cos \theta + b_\phi \sin \theta = e^{i\Omega\tau} \sin \theta \left\{ a_\phi + (\operatorname{ctg} \theta - \mathcal{N}) a_a - \sqrt{2\mathcal{N}} f_s \right\},$$
$$S_{f_s} = \frac{1}{2\mathcal{N}} + \left( \frac{\operatorname{ctg} \theta}{\sqrt{2\mathcal{N}}} - \sqrt{\frac{\mathcal{N}}{2}} \right)^2, \quad \operatorname{ctg} \theta = \mathcal{N}(\Omega_0) \quad (234)$$

Сравнение измерителей координаты и скорости

**1)** Параметр мощности  $\mathcal{N}$  слабо зависит от частоты при  $\Omega\tau \ll 1$ :

$$\mathcal{N} = \frac{8\hbar k^2 A^2}{m\Omega^2} (1 - e^{i\Omega\tau})^2 \simeq -\frac{8\hbar k^2 A^2 \tau^2}{m}, \quad (\text{широкая полоса}) \quad (235)$$

**2)** Величина сигнала меньше в  $\sim (\Omega\tau)$ ,  $\Rightarrow$  накачка — больше.

**3)** Балансная схема (2 отражения должны быть идентичны).



# Простейший координатный измеритель скорости (прод.)

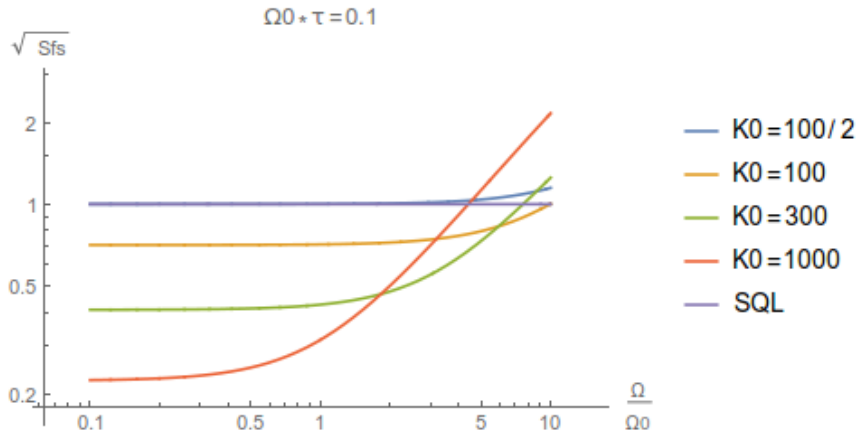


Рис. 8: Графики чувствительности  $\sqrt{S_{fs}(\Omega)}$  для координатного измерителя скорости, параметр  $\Omega_0 \tau = 0.1$ . Ср. с графиками на Рис. 6.



# Сравнение измерителей скорости: координатного и КНИ

## Обратное флуктуационное влияние

- ▶ В координатном измерителе скорости присутствует ОФВ. Важно: **ОФВ ограничивает чувствительность.**
- ▶ В измерителе фон Неймана тоже присутствует ОФВ. **Но ОФВ НЕ ограничивает чувствительность** — истинное КНИ.

## Требуемая точность измерения примерно та же

- ▶ В координатном измерителе скорости измеряется фаза:

$$\Delta\phi_{\text{изм}} \simeq \frac{2\omega_0 x}{c} (1 - e^{i\Omega\tau}) \simeq \frac{2\omega_0 x \cdot (\Omega\tau)}{c} \quad (236)$$

- ▶ В измерителе фон Неймана измеряется частота отр. света:

$$\Delta\omega_0 \simeq \omega_0 \frac{2v}{c} \simeq \omega_0 \frac{2x\Omega}{c} \simeq \frac{\Delta\phi_{\text{изм}}}{\tau} \quad (237)$$

Но! В измерителе фон Неймана надо измерять частоту по регистрации энергии. Состояние падающего света — энергетическое (фаза НЕ определена принципиально).



# Содержание

Статистическая модель квантовой механики

Постулат редукции фон-Неймана

Положительно определенная операторная вероятностная мера

Приближенные измерения

ПОВМ: общий случай

Косвенные измерения

Непрерывные измерения

Непрерывное измерение фазы: когерентная накачка

Непрерывное измерение фазы: сжатая накачка

Вариационное измерение

Оптическое сжатие

Оптические потери

Квантовый измеритель скорости

Квантовое описание диссипации осциллятора



# Осциллятор без затухания, под действием силы $F(t)$

## Гамильтониан и уравнения движения

$$\mathcal{H} = \hbar\omega_m \left( a^\dagger a + \frac{1}{2} \right) - Fx, \quad (238)$$

$$\boxed{x = x_0 (a + a^\dagger), \quad x_0 = \sqrt{\frac{\hbar}{2m\omega_m}}} \quad (239)$$

$$\dot{a} = \frac{1}{i\hbar} [a, \mathcal{H}] = -i\omega_m a + i f_s(t), \quad \boxed{f_s(t) \equiv \frac{F(t)}{\sqrt{2\hbar m\omega_m}}}, \quad (240)$$

$$a = \tilde{a} e^{-i\omega_m t}, \quad \Rightarrow \quad \dot{\tilde{a}} = i f_s(t) e^{i\omega_m t} \quad (241)$$

## Резонансная сигнальная сила

$$f_s(t) = \frac{f_{s0}}{i} (e^{-i\phi} e^{-i\omega_m t} - e^{i\phi} e^{i\omega_m t}), \quad 0 \leq t \leq \tau \quad (242)$$

$$a(t) \simeq (a(0) + f_{s0} t e^{-i\phi}) e^{-i\omega_m t} \quad (243)$$



## Формальное описание осциллятора с затуханием

Уравнение для операторов рождения ( $a$ ) и уничтожения ( $a^\dagger$ ) в представлении Гейзенберга (медленные амплитуды).  $f_a(t)$ ,  $f_a^\dagger(t)$  — флуктуационные силы.

$$\dot{a} = -\gamma_a a + f_a, \quad \dot{a}^\dagger = -\gamma_a a^\dagger + f_a^\dagger, \quad (244)$$

$$a(t) = a(0)e^{-\gamma_a t} + \int_0^t e^{-\gamma_a(t-\tau)} f_a(\tau) d\tau, \quad (245)$$

$$a^\dagger(t') = a^\dagger(0)e^{-\gamma_a t'} + \int_0^{t'} e^{-\gamma_a(t'-\tau')} f_a^\dagger(\tau') d\tau', \quad (246)$$

$$\begin{aligned} [a(t), a^\dagger(t)] &= [a(0), a^\dagger(0)] e^{-2\gamma_a t} + \\ &+ \int \int_0^t e^{-\gamma_a(2t-\tau-\tau')} [f_a(\tau), f_a^\dagger(\tau')] d\tau d\tau' \end{aligned} \quad (247)$$

Потребуем

$$\langle [f_a(t), f_a^\dagger(t')] \rangle = 2\gamma_a \delta(t - t'), \quad \text{Тогда:} \quad [\mathbf{a}(t), \mathbf{a}^\dagger(t)] = \mathbf{1}. \quad (248)$$



# Формальное описание осциллятора с затуханием (прод.)

## Равновесная энергия осциллятора с затуханием

$$\lim_{t \rightarrow \infty} \langle a^\dagger(t) a(t) \rangle = n_a, \quad n_a \equiv \frac{1}{e^{\hbar\omega_a/(k_B T)} - 1} \quad (249)$$

Это выполняется, если потребовать условия для флуктуационных сил:

$$\langle f_a(t) f_a^\dagger(t') \rangle = 2\gamma_a (n_a + 1) \delta(t - t'), \quad (250)$$

$$\langle f_a^\dagger(t') f_a(t) \rangle = 2\gamma_a n_a \delta(t - t') \quad (251)$$

## Частотное описание осциллятора с затуханием

$$f_a(\Omega) \equiv \int_{-\infty}^{\infty} f_a(t) e^{i\Omega t} dt, \quad f_a^\dagger(\Omega) \equiv \int_{-\infty}^{\infty} f_a^\dagger(t) e^{-i\Omega t} dt, \quad (252)$$

$$\langle f_a(\Omega) f_a^\dagger(\Omega') \rangle = 2\gamma_a (n_a + 1) 2\pi \delta(\Omega - \Omega'), \quad (253)$$

$$\langle f_a^\dagger(\Omega) f_a(\Omega') \rangle = 2\gamma_a n_a 2\pi \delta(\Omega - \Omega'), \quad (254)$$



## Формальное описание осциллятора с затуханием (прод.)

Односторонняя спектральная плотность  $S_f$

$$\frac{1}{2} 2\pi \delta(\Omega - \Omega') S_f(\Omega) \equiv \frac{1}{2} \langle f_a(\Omega) f_a^\dagger(\Omega') + f_a^\dagger(\Omega) f_a(\Omega') \rangle,$$
$$S_f(\Omega) = 2\gamma_a(2n_a + 1), \quad (255)$$

$$a(\Omega) = \frac{f_a(\Omega)}{\gamma_a - i\Omega}, \quad a^\dagger(\Omega) = \frac{f_a^\dagger(\Omega)}{\gamma_a + i\Omega}, \quad (256)$$

$$\langle a^\dagger(\Omega) a(\Omega') + a(\Omega) a^\dagger(\Omega') \rangle = \frac{2\gamma_a(2n_a + 1) 2\pi \delta(\Omega - \Omega')}{(\gamma_a^2 + \Omega^2)}, \quad (257)$$

$$S_a(\Omega) = \frac{2\gamma_a(2n_a(\Omega) + 1)}{(\gamma_a^2 + \Omega^2)}, \quad \mathcal{E} = \int_{-\omega_0}^{\infty} \hbar(\omega_0 + \Omega) S_a(\Omega) \frac{d\Omega}{2\pi},$$

$$\mathcal{E} \simeq \hbar\omega_0 \left( n_a(\omega_0) + \frac{1}{2} \right) \int_{-\infty}^{\infty} \frac{2}{\pi} \frac{dx}{1+x^2} \simeq \hbar\omega_0 \left( n_a + \frac{1}{2} \right).$$

Обычно энергию нулевых колебаний НЕ принимают во внимание.  
Но(!) Все зависит от формулировки задачи.



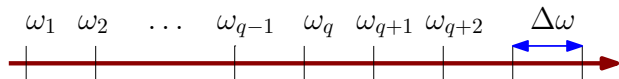
# Термостат + осциллятор

## Гамильтониан

Термостат (баня) – набор осцилляторов в тепловом равновесии,  $\omega_{q+1} - \omega_q = \Delta\omega$ . Каждый слабо связан с нашим осциллятором

$$H = \hbar\omega_0 \hat{a}^\dagger \hat{a} + H_\kappa + H_T, \quad (258)$$

$$H_T = \sum_q \hbar\omega_q \hat{b}_q^\dagger \hat{b}_q, \quad H_\kappa = -i\hbar \sqrt{\frac{\gamma \Delta\omega}{\pi}} \sum_q (\hat{a}^\dagger \hat{b}_q - \hat{b}_q^\dagger \hat{a}) \quad (259)$$



Уравнения движения (Гамильтонова система!)

$$\dot{\hat{a}} = \frac{1}{i\hbar} [\hat{a}, H] = -i\omega_0 \hat{a} - \sqrt{\frac{\gamma \Delta\omega}{\pi}} \sum_q \hat{b}_q, \quad (260)$$

$$\dot{\hat{b}}_q = -i\omega_q \hat{b}_q + \sqrt{\frac{\gamma \Delta\omega}{\pi}} \hat{a}, \quad [b_q, b_{q'}^\dagger] = \delta_{qq'}, \quad \langle b_q, b_{q'}^\dagger \rangle = (n_T + 1) \delta_{qq'}$$



# Термостат + осциллятор (прод.)

## Медленные амплитуды

$$\hat{a} \Rightarrow \hat{a}e^{-i\omega_0 t}, \quad \hat{b}_q \Rightarrow \hat{b}_q e^{-i\omega_q t} \quad \Rightarrow \quad (261)$$

$$\dot{\hat{a}}(t) = -\sqrt{\frac{\gamma \Delta\omega}{\pi}} \sum_q \hat{b}_q e^{i(\omega_0 - \omega_q)t}, \quad \dot{\hat{b}}_q = \sqrt{\frac{\gamma \Delta\omega}{\pi}} \hat{a} e^{-i(\omega_0 - \omega_q)t}. \quad (262)$$

Важно: при  $\Delta\omega \rightarrow 0$  каждый осциллятор  $b_q$  возмущается *слабо (!)*

Подставляем (пока все точно!)

$$\hat{b}_q = \hat{b}_q(0) + \sqrt{\frac{\gamma \Delta\omega}{\pi}} \int_0^t \hat{a}(t') e^{-i(\omega_0 - \omega_q)t'} dt', \quad (263)$$

$$\begin{aligned} \dot{\hat{a}} &= -\sum_q \left( \sqrt{\frac{\gamma \Delta\omega}{\pi}} \hat{b}_q(0) e^{i(\omega_0 - \omega_q)t} - \frac{\gamma \Delta\omega}{\pi} \int_0^t \hat{a}(t') e^{i(\omega_0 - \omega_q)(t-t')} dt' \right) = \\ &= \sqrt{2\gamma} \hat{\alpha}_{\text{fl}} - \gamma \hat{a}. \end{aligned} \quad (264)$$



## Термостат + осциллятор (прод.)

### Вывод (264)

Заменяем сумму интегралом по правилу

$$\Delta\omega \sum_q \Rightarrow \int d\omega, \quad (265)$$

и считаем коммутатор для  $a_{\text{fl}}$

$$\hat{\alpha}_{\text{fl}}(t) \equiv \sqrt{\frac{\Delta\omega}{2\pi}} \sum_q b_q(0) e^{i(\omega_0 - \omega_q)t}, \quad (266a)$$

$$[\hat{\alpha}_{\text{fl}}(t), \hat{\alpha}_{\text{fl}}^\dagger(t')] \equiv \frac{\Delta\omega}{2\pi} \sum_q e^{i(\omega_0 - \omega_q)(t-t')} \Rightarrow \delta(t - t'), \quad (266b)$$

$\delta(t)$  — дельта функция. Среднее для  $a_{\text{fl}}$

$$\langle \hat{\alpha}_{\text{fl}}(t) \hat{\alpha}_{\text{fl}}^\dagger(t') \rangle = (n_T + 1) \delta(t - t'), \quad n_T = \frac{\hbar\omega_0}{e^{\hbar\omega_0/(kT)} - 1} \quad (266c)$$



## Термостат + осциллятор (прод.)

### Продолжение вывода (264)

Считаем член  $\gamma \hat{a}$  используя переход (265):

$$\gamma \hat{a} = \int_0^t \hat{a}(t') \frac{\gamma}{\pi} \left[ \int e^{i(\omega_0 - \omega)(t-t')} d\omega \right] dt' = \quad (267)$$

$$= \frac{\gamma}{\pi} \int_0^t \hat{a}(t') \cdot 2\pi \delta(t-t') dt' = \gamma \hat{a}(t), \quad (268)$$

Напоминание:  $\int_x^y f(\xi) \delta(y-\xi) d\xi = f(y)/2$  (269)

### Анализ уравнения (264)

$$\dot{\hat{a}} + \gamma \hat{a} = \sqrt{2\gamma} \hat{\alpha}_{\text{fl}}, \quad (270)$$

$$\hat{a}(t) = \hat{a}(0)e^{-\gamma t} + \sqrt{2\gamma} \int_0^t \hat{\alpha}_{\text{fl}}(t') e^{-\gamma(t-t')} dt', \quad (271)$$

$$[\hat{a}(t), \hat{a}^\dagger(t)] = 1, \quad \text{Доказать (Задача 14)} \quad (272)$$



# Содержание

Задачи



# Задачи

## 1. Гаусс

Рассчитать  $\Delta x^2$  и  $\Delta k^2$  для гауссового распределения волновой функции (12).

## 2. Соотношение Шредингера-Робинса

Вывести соотношение Шредингера-Робинса (21).

## 3. Классическое соотношение неопределенностей

Доказать классическое соотношение неопределенностей  $\Delta x^2 \Delta k^2 \geq \frac{1}{4}$ . Использовать (13).

## 4. Сдвиг

Доказать для собственного состояния оператора импульса

$$\exp\left(\frac{i\alpha x}{\hbar}\right) |p\rangle = |p + \alpha\rangle,$$

где  $x$  – оператор координаты,  $\alpha$  – константа.



# Задачи

## 5. Полнота ПОВМ

Доказать полнота ПОВМ для электронного зонда

$$\int_{-\infty}^{\infty} \hat{\Omega}(\tilde{q}) \Omega^\dagger(\tilde{q}) d\tilde{q} = \hat{1}$$

## 5b. Перекрестная спектральная плотность

Доказать формулу (116), используя (115) и определение (104).

## 6. Когерентное состояние

Доказать, что для когерентного состояния

- ▶ Средние равны:

$$\langle a_\phi(\Omega) \circ a_\phi^\dagger(\Omega') \rangle = \langle a_\phi^\dagger(\Omega) \circ a_\phi(\Omega') \rangle = \pi \delta(\Omega - \Omega'),$$

- ▶ Перекрестное среднее и сп. плотность равна нулю:

$$\langle a_a(\Omega) \circ a_\phi^\dagger(\Omega') \rangle = \langle a_\phi(\Omega) \circ a_a^\dagger(\Omega') \rangle = 0, \quad S_{a\phi} = 0$$

Указание: использовать определения (126, 130, 133).



# Задачи

## 7. Мощность накачки

Как изменится спектральная плотность  $S_{fs}$  при увеличении (уменьшении) амплитуды падающей волны (накачки) в 3 раза? Привести графики  $S_{fs}(\Omega)$  без изменения и с изменением накачки.

## 7б. Балансный гомодинный детектор.

Принцип работы и схема балансного гомодинного детектора. Показать, что он позволяет измерять квадратуру  $b_\theta = b_a \cos \theta + b_\phi \sin \theta$ , где  $b_a$ ,  $b_\phi$  амплитудная и фазовая квадратуры падающего света.

## 8. Сжатая накачка

Построить графики  $S_{fs}(\Omega)$  при разных углах сжатия  $\theta = \pi/6, \pi/4, \pi/3$  и фиксированном сжатии  $r = 2$  – см. (164). Считать параметр накачки  $\mathcal{K} = \mathcal{K}_0 \Omega_0^2 / \Omega^2$ .

## 9. Вариационное измерение

Объяснить, почему на графике чувствительности вариационного измерения на рис. 6 минимумы  $\sqrt{S_{fs}}$  приходятся на частоты  $\Omega_{min} < \Omega_0$ . См. (175).



# Задачи

## 10. Вариационное измерение – максимальное сжатие

Доказать, что максимальное сжатие (т.е. минимум спектральной плотности  $S_{b\theta}$ ) на заданной частоте  $\Omega_0$  достигается при гомодинном угле, определяемым соотношением

$$\operatorname{ctg} 2\theta = \frac{\mathcal{K}(\Omega_0)}{2}$$

Найти минимум  $S_{b\theta}$ . Использовать (170).

## 11. Вариационное измерение с оптическими потерями

Пользуясь формулами (202с) и (203) найти спектральную плотность  $S_{f_s}(\Omega)$  для произвольной частоты и построить графики  $S_{f_s}(\Omega)$  при  $\epsilon = 0$  и  $\epsilon = 0.2$

## 12. Потери в AR покрытии

Используя (227) вывести соотношения (228). Вычислить коммутаторы  $[b(\Omega), b^\dagger(\Omega')]$  и  $[b_2(\Omega), b_2^\dagger(\Omega')]$ .



# Задачи

## 13. Вырожденный параметрический усилитель

Вывести гамильтониан (184) и уравнения движения (187).

## 14. Коммутатор осциллятора с диссипацией

Доказать коммутатор (272), используя (266).

